

Popis souřadnicových systémů a transformace mezi vybranými systémy

MICHAL ELIAŠ

Verze	Dátum	Autor	Opis zmen
[0.1]	2023-03-08	mel	Založenie súboru

Obsah

1	Úvod	5
1.1	Rešerš literatúry	5
2	Poznámky	6
2.1	Transformace	6
2.2	Translace	7
2.3	Transformace kovariančních matíc	7
2.4	Súradnicové systémy	9
3	Transformace souřadnic a jejich kovariančních matíc mezi vybranými souřadnicovými soustavami	13
3.1	ECEF \rightarrow ENU	13
3.2	ENU \rightarrow ECEF	14
3.3	GEOD \rightarrow ECEF	16
3.4	ECEF \rightarrow GEOD	19
3.5	ENU \rightarrow AES	20
3.6	AES \rightarrow ENU	21
4	Vybrané kartografické zobrazení	22
4.1	Definice a některé vlastnosti vybraných kartografického zobrazení	22
4.2	Poznámky k valcovým zobrazením	23
4.3	GEOD \rightarrow UTM	25
4.4	UTM \rightarrow GEOD	25
4.5	Poznámky k azimutálním zobrazením	27
4.6	GEOD \rightarrow STEREO	30
4.7	STEREO \rightarrow GEOD	31
	Appendices	33
A	Základní parametry zemského elipsoidu	34
B	Konstanty základních referenčních elipsoidů	35
B.1	World Geodetic System 1984 (WGS84)	35
B.2	Geodetic Reference System 1980 (GRS80)	35
B.3	Konstanty Krasovského elipsoidu	35

C	Pseudokódy implementovaných transformácií v Matlab package +Geo	35
C.1	ECEF2ENU	35
C.2	ENU2ECEF	35
C.3	GEOD2ECEF	36
C.4	ECEF2GEOD	36
D	Smerové kosíny	36
E	Elipsa chýb a Helmertová krivka	36
E.1	Príklad zobrazenia elipsy chýb a Helmertovej krivky	38
F	Vlastné čísla a vlastné vektory	39
F.1	Spektrálny rozklad štvorcovej matice	39
F.2	Návrh odvodenia prvkov elipsy chýb za pomoci spektrálneho rozkladu štvorcovej matice	40
G	Zákon hromadenia chýb - Propagation law	40
H	Zobrazení elipsoidu na kouli za podmínky zachování úhlů (konformní zobrazení)	40
I	Meridánová konvergence - poznámky	42

Seznam obrázků

1	Zobrazení bodu v ECEF soustavě souřadnic. Obrázek je převzat z [ECE].	9
2	Zobrazení systému souřadnic East-North-Up. Obrázek je převzat z [ENU].	10
3	Geodetické zeměpisné souřadnice. Obrázek je převzat z [Cim97].	10
4	Sférické polární souřadnice. Obrázek je převzat z [Weia].	11
5	Polární souřadnice. Obrázek je převzat z [Mat].	12
6	$\varphi \rightarrow (x, y)$. Obrázek je převzat z [Cim97].	16
7	Prostorové pravouhlé souřadnice. Obrázek je převzat z [Cim97].	17
8	Geometrická azimutální projekce. Obrázek je převzat z [Buc02].	30
9	Zobrazenie elipsy chýb a Helmertovej krivky. Kovariancia je 0.0.	38
10	Zobrazenie elipsy chýb a Helmertovej krivky. Kovariancia je 1.5.	38
11	Transformácia suradníc zo súradného systému ECEF do systému ENU.	39
12	Obečná schéma možného převodu elipsoidických souřadnic do systému zobrazovacích souřadnic.	42

Seznam tabulek

Abstrakt

Dokument obsahuje kompletnú správu týkajúcu sa vývoja modelu strát. Obsahoj je jednak matematický opis modelu, potom aj konkrétne príklady. Report obsahuje porovnanie so stávajúcim modelom a diskutuje o možných vylepšeniach.

Přehled důležitějších zkratek

CTP	-	Conventional Terrestrial Pole
ECEF	-	Earth-Centered Earth-Fixed. Pravoúhlý souřadnicový systém
	-	
IERS	-	International Earth Rotation Service

Přehled důležitějších symbolů

TBA - TBA

1 Úvod

Dokument obsahuje základní popis transformací mezi vybranými souřadnými systémy. Konkrétně se jedná o tyto souřadné soustavy:

1. ECEF (Earth Centred Earth Fixed) je pravoúhlá geocentrická souřadnicová soustava.
2. ENU (East North Up) je pravoúhlá lokální souřadnicová soustava.
3. GEOD je soustava geodetických/elipsoidickou souřadnic definovaných na rotačním elipsoidu, např. WGS-84.
4. SPHERE je soustava sférických souřadnic

1.1 Rešerš literatury

1.1.1 Obecná četba

TBA

1.1.2 Zajímavé odkazy na literaturu ve vztahu k transformacím

TBA

2 Poznámky

2.1 Transformace

Definujme si zápis transformační matice ze souřadného systému UVW do souřadného systému XYZ například ve tvaru \mathbf{C}_{XYZ}^{UVW} [GAB01].

Dále, ať vektor \mathbf{v} obsahuje souřadnice systému XYZ, t.j. $\mathbf{v} = [v_x, v_y, v_z]^T$ a ten stejný vektor \mathbf{v} ať obsahuje souřadnice $\mathbf{v} = [v_u, v_v, v_w]^T$ systému UVW. Pak pro obecný zápis transformace platí tento předpis

$$\begin{bmatrix} v_x \\ v_y \\ v_z \end{bmatrix} = \mathbf{C}_{XYZ}^{UVW} \begin{bmatrix} v_u \\ v_v \\ v_w \end{bmatrix} \quad (1)$$

Systémy XYZ, respektive UVW reprezentují trojdimenzionální kartézské souřadné systémy.

Komponenty vektorů v jakémkoli souřadnicovém systému lze vyjádřit pomocí jejich jednotkových vektorů rovnoběžných s jejich příslušnými souřadnicovými osami. Například, ať souřadnicové osy systému XYZ označíme X, Y a Z a souřadnicové osy systému UVW označíme U, V a W, potom vektor \mathbf{v} můžeme vyjádřit ve tvaru

$$\begin{aligned} \mathbf{v} &= v_x \mathbf{1}_x + v_y \mathbf{1}_y + v_z \mathbf{1}_z \\ &= v_u \mathbf{1}_u + v_v \mathbf{1}_v + v_w \mathbf{1}_w, \end{aligned} \quad (2)$$

kde

- jednotkové vektory $\mathbf{1}_x, \mathbf{1}_y, \mathbf{1}_z$ jsou definovány podél souřadných os X, Y a Z systému XYZ,
- skaláry v_x, v_y, v_z jsou komponenty vektoru \mathbf{v} definovány podél souřadných os X, Y a Z systému XYZ,
- jednotkové vektory $\mathbf{1}_u, \mathbf{1}_v, \mathbf{1}_w$ jsou definovány podél souřadných os U, V a W systému UVW,
- skaláry v_u, v_v, v_w jsou komponenty vektoru \mathbf{v} definovány podél souřadných os U, V a W systému UVW.

Příslušné komponenty vektoru lze vyjádřit pomocí skalárního součinu příslušných jednotkových vektorů, například ve tvaru

$$v_x = \mathbf{1}_x^T \mathbf{v} = v_u \mathbf{1}_x^T \mathbf{1}_u + v_v \mathbf{1}_x^T \mathbf{1}_v + v_w \mathbf{1}_x^T \mathbf{1}_w, \quad (3)$$

$$v_y = \mathbf{1}_y^T \mathbf{v} = v_u \mathbf{1}_y^T \mathbf{1}_u + v_v \mathbf{1}_y^T \mathbf{1}_v + v_w \mathbf{1}_y^T \mathbf{1}_w, \quad (4)$$

$$v_z = \mathbf{1}_z^T \mathbf{v} = v_u \mathbf{1}_z^T \mathbf{1}_u + v_v \mathbf{1}_z^T \mathbf{1}_v + v_w \mathbf{1}_z^T \mathbf{1}_w, \quad (5)$$

a v maticové formě předchozí rovnice nabývají tento zápis

$$\begin{bmatrix} v_x \\ v_y \\ v_z \end{bmatrix} = \begin{bmatrix} \mathbf{1}_x^T \mathbf{1}_u & \mathbf{1}_x^T \mathbf{1}_v & \mathbf{1}_x^T \mathbf{1}_w \\ \mathbf{1}_y^T \mathbf{1}_u & \mathbf{1}_y^T \mathbf{1}_v & \mathbf{1}_y^T \mathbf{1}_w \\ \mathbf{1}_z^T \mathbf{1}_u & \mathbf{1}_z^T \mathbf{1}_v & \mathbf{1}_z^T \mathbf{1}_w \end{bmatrix} \begin{bmatrix} v_u \\ v_v \\ v_w \end{bmatrix} = \mathbf{C}_{XYZ}^{UVW} \begin{bmatrix} v_u \\ v_v \\ v_w \end{bmatrix}. \quad (6)$$

Tímto jsme si odvodili souřadnicovou transformační matici \mathbf{C}_{XYZ}^{UVW} . Skalární součin jednotkových ortogonálních vektorů umožňuje odvodit směrové kosiny, přičemž obecně platí, že

$$\mathbf{1}_a^T \mathbf{1}_b = \cos(\theta_{a,b}). \quad (7)$$

V důsledku toho, souřadnicová transformační matice může být vyjádřena ve tvaru

$$\mathbf{C}_{XYZ}^{UVW} = \begin{bmatrix} \cos(\theta_{x,u}) \cos(\theta_{x,v}) \cos(\theta_{x,w}) \\ \cos(\theta_{y,u}) \cos(\theta_{y,v}) \cos(\theta_{y,w}) \\ \cos(\theta_{z,u}) \cos(\theta_{z,v}) \cos(\theta_{z,w}) \end{bmatrix}. \quad (8)$$

Rovnice 8 vyjadřuje všeobecnou rotační matici v trojrozměrném prostoru.

2.2 Translace

V předchozí kapitole jsme se věnovali podobnostnej transformaci mezi dvěma pravoúhlými souřadnými systémy. V případě posunu (translace), počátek jedné soustavy do počátku druhé soustavy jednoznačně vyjádříme pomocí vektoru

$$\mathbf{r} = \begin{bmatrix} (x - u) & (y - v) & (z - w) \end{bmatrix}^T. \quad (9)$$

2.3 Transformace kovariančních matic

Cílem kapitoly je navrhnout transformaci kovariančních matic souřadnic (jejích přesností) mezi uvažovanými souřadnými systémy. Princip postupu je založen na zákoně hromadění středních chyb, viz například [Kub13] anebo [MA76].

Matematický zápis transformace kovarianční matice mezi vybranými systémy je tento:

$$\mathbf{\Sigma}_{XYZ} = \mathbf{J} \mathbf{\Sigma}_{UVW} \mathbf{J}^T, \quad (10)$$

kde

- \mathbf{J} je Jakobi matice příslušné transformace,
- $\mathbf{\Sigma}_{UVW}$ je kovarianční matice souřadnic resp. souřadného systému, ze kterého transformujeme a
- $\mathbf{\Sigma}_{XYZ}$ je kovarianční matice souřadnic resp. souřadného systému, do kterého transformujeme.

Interpretaci Zákona hromadění chyb a jednotlivých matic si ukážme na následujícím příkladě. Majme vektorovou funkci $f(X)$ s rozměrem p ,

$$\mathbf{f}(X) = [f_1(X), f_2(X), \dots, f_p(X)]^T \quad (11)$$

a neť operátor gradient pro vektor \mathbf{X} s rozměrem n je daný v tvaru

$$\nabla_X = \left[\frac{\partial}{\partial X_1}, \frac{\partial}{\partial X_2}, \dots, \frac{\partial}{\partial X_n} \right]^T. \quad (12)$$

Jakobiho matice \mathbf{J} příslušné transformace je pak definovaný takto:

$$\mathbf{J}_X = [\nabla_X \mathbf{f}_X^T]^T = \begin{bmatrix} f_1(X) \\ f_2(X) \\ \vdots \\ f_p(X) \end{bmatrix} \begin{bmatrix} \frac{\partial}{\partial X_1} & \frac{\partial}{\partial X_2} & \dots & \frac{\partial}{\partial X_n} \end{bmatrix} = \begin{bmatrix} \frac{\partial f_1}{\partial X_1} & \frac{\partial f_1}{\partial X_2} & \dots & \frac{\partial f_1}{\partial X_n} \\ \frac{\partial f_2}{\partial X_1} & \frac{\partial f_2}{\partial X_2} & \dots & \frac{\partial f_2}{\partial X_n} \\ \vdots & \vdots & \ddots & \vdots \\ \frac{\partial f_p}{\partial X_1} & \frac{\partial f_p}{\partial X_2} & \dots & \frac{\partial f_p}{\partial X_n} \end{bmatrix}. \quad (13)$$

Uveďme kovarianční matici souřadnicového systému ze kterého transformujeme, respektive obecnou kovarianční matici $\mathbf{\Sigma}_X$. Kovarianční matice je speciální matice jak z hlediska matematického

(je symetrická či pozitivní definitná), tak z hlediska fyzikálního. Obsahuje všechny rozptyly a kovariance vstupních veličin. Obecně pro ni platí

$$\Sigma_{X_{n \times n}} = \begin{bmatrix} \sigma_{X_1}^2 & \sigma_{X_1}\sigma_{X_2} & \cdots & \sigma_{X_1}\sigma_{X_n} \\ \sigma_{X_2}\sigma_{X_1} & \sigma_{X_2}^2 & \cdots & \sigma_{X_2}\sigma_{X_n} \\ \vdots & \vdots & \ddots & \vdots \\ \sigma_{X_n}\sigma_{X_1} & \sigma_{X_n}\sigma_{X_2} & \cdots & \sigma_{X_n}^2 \end{bmatrix}. \quad (14)$$

Zavedme si ještě výstupní kovarianční matici, teda v našem případě kovarianční matici souřadnicového systému, do kterého chceme transformovat a to například v tvaru

$$\Sigma_{Y_{p \times p}} = \begin{bmatrix} \sigma_{Y_1}^2 & \sigma_{Y_1}\sigma_{Y_2} & \cdots & \sigma_{Y_1}\sigma_{Y_p} \\ \sigma_{Y_2}\sigma_{Y_1} & \sigma_{Y_2}^2 & \cdots & \sigma_{Y_2}\sigma_{Y_p} \\ \vdots & \vdots & \ddots & \vdots \\ \sigma_{Y_p}\sigma_{Y_1} & \sigma_{Y_p}\sigma_{Y_2} & \cdots & \sigma_{Y_p}^2 \end{bmatrix}. \quad (15)$$

Podle rovnice 10, kovarianční matici v systému transformovaných souřadnic vyjádříme pomocí

$$\begin{bmatrix} \sigma_{Y_1}^2 & \sigma_{Y_1}\sigma_{Y_2} & \cdots & \sigma_{Y_1}\sigma_{Y_p} \\ \sigma_{Y_2}\sigma_{Y_1} & \sigma_{Y_2}^2 & \cdots & \sigma_{Y_2}\sigma_{Y_p} \\ \vdots & \vdots & \ddots & \vdots \\ \sigma_{Y_p}\sigma_{Y_1} & \sigma_{Y_p}\sigma_{Y_2} & \cdots & \sigma_{Y_p}^2 \end{bmatrix} = \begin{bmatrix} \frac{\partial f_1}{\partial X_1} & \frac{\partial f_1}{\partial X_2} & \cdots & \frac{\partial f_1}{\partial X_n} \\ \frac{\partial f_2}{\partial X_1} & \frac{\partial f_2}{\partial X_2} & \cdots & \frac{\partial f_2}{\partial X_n} \\ \vdots & \vdots & \ddots & \vdots \\ \frac{\partial f_p}{\partial X_1} & \frac{\partial f_p}{\partial X_2} & \cdots & \frac{\partial f_p}{\partial X_n} \end{bmatrix} \begin{bmatrix} \sigma_{X_1}^2 & \sigma_{X_1}\sigma_{X_2} & \cdots & \sigma_{X_1}\sigma_{X_n} \\ \sigma_{X_2}\sigma_{X_1} & \sigma_{X_2}^2 & \cdots & \sigma_{X_2}\sigma_{X_n} \\ \vdots & \vdots & \ddots & \vdots \\ \sigma_{X_n}\sigma_{X_1} & \sigma_{X_n}\sigma_{X_2} & \cdots & \sigma_{X_n}^2 \end{bmatrix} \begin{bmatrix} \frac{\partial f_1}{\partial X_1} & \frac{\partial f_2}{\partial X_1} & \cdots & \frac{\partial f_p}{\partial X_1} \\ \frac{\partial f_1}{\partial X_2} & \frac{\partial f_2}{\partial X_2} & \cdots & \frac{\partial f_p}{\partial X_2} \\ \vdots & \vdots & \ddots & \vdots \\ \frac{\partial f_1}{\partial X_n} & \frac{\partial f_2}{\partial X_n} & \cdots & \frac{\partial f_p}{\partial X_n} \end{bmatrix}. \quad (16)$$

Rozptyl veličin systému transformované soustavy souřadnic, například $\sigma_{Y_1}^2$ po přenásobení matic v předcházející rovnici, je

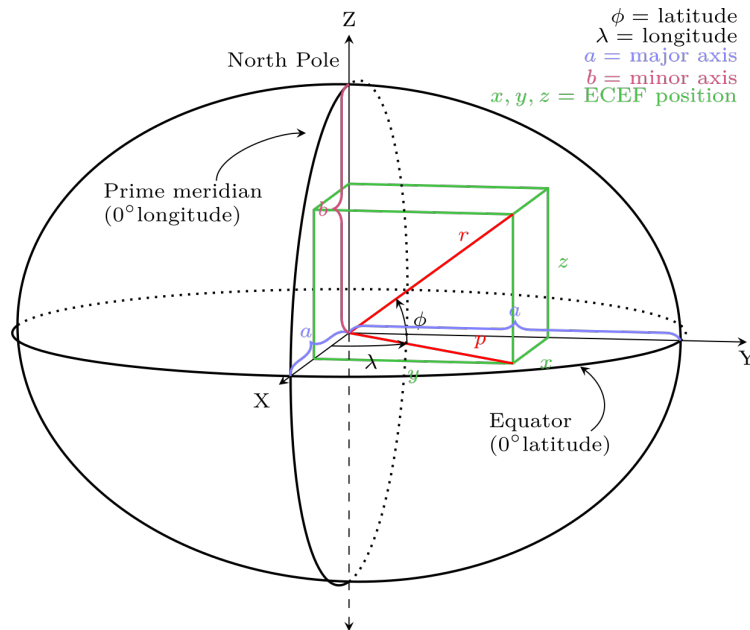
$$\sigma_{Y_1}^2 = \sum_i \left(\frac{\partial f_1}{\partial X_i} \right)^2 + \sum \sum_{i \neq j} \frac{\partial f_1}{\partial X_i} \frac{\partial f_1}{\partial X_j} \sigma_{X_i X_j} \quad (17)$$

a kovariance mezi veličinami X_1 a X_2 bude

$$\sigma_{X_1 X_2} = \sum_i \frac{\partial f_1}{\partial X_i} \frac{\partial f_2}{\partial X_i} \sigma_{X_i}^2 + \sum \sum_{i \neq j} \frac{\partial f_1}{\partial X_i} \frac{\partial f_2}{\partial X_j} \sigma_{X_i X_j}. \quad (18)$$

2.4 Sústředné souřadnicové systémy

2.4.1 ECEF - Earth Centred Earth Fixed



Obrázek 1: Zobrazení bodu v ECEF soustavě souřadnic. Obrázek je převzat z [ECE].

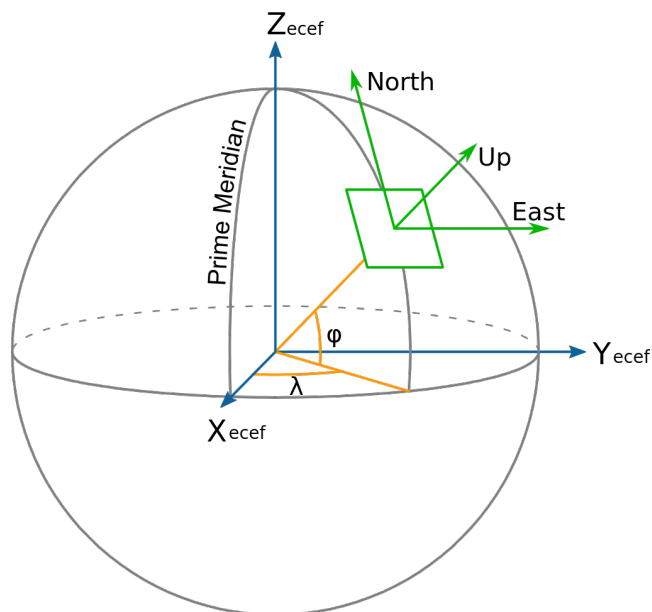
Základní kartézská pravouhlá soustava souřadnic, například tak, jako je zobrazená na obrázku 1, je definována takto [SH88], [Kov16]:

- počátek soustavy je soustředěn v geocentre, t.j. v gravitačním středu zemského tělesa,
- osa **Z** směřuje do místa zemského severního pólu, který je definován podle IERS. Protože poloha pólu se v čase mění, používá se střední poloha zemského pólu (CTP).
- osa **X** prochází bodem nulové zeměpisné délky, t.j. Greenwich poledníkem, který je definován podle IERS a míří do průsečíku tohoto poledníku a roviny rovníku,
- osa **Y** doplňuje pravotočivý pravouhlý systém souřadnic.

2.4.2 ENU - East-North-Up

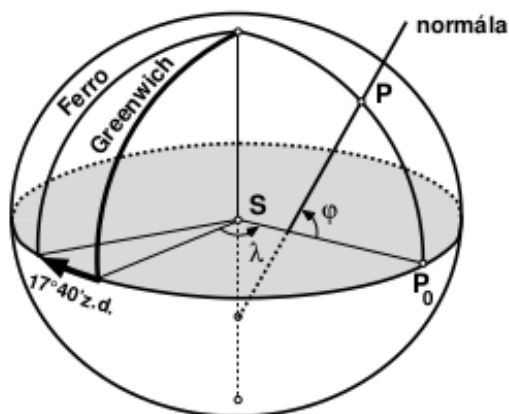
Některé výpočty souřadnic je praktičtější provádět v lokální souřadnicové soustavě například vzdálenost radarového přijímače od daného bodu atp., [Kov16], [Mey02]. ENU je lokální pravouhlá soustava souřadnic, přičemž její definice a umístění počátku soustavy a souřadnicových os, dle značení na obrázku 2, jsou:

- počátek systému soustavy souřadnic je umístěn v středě regionu zájmu a to buď na povrchu anebo blízko povrchu referenčního tělesa (elipsoid, koule),
- osa **n** (North) směřuje na sever,
- osa **e** (East) směřuje na východ a
- osa **u** (Up) je totožná s normálou referenčního tělesa (elipsoid, koule).



Obrázek 2: Zobrazení systému souřadnic East-North-Up. Obrázek je převzat z [ENU].

2.4.3 GEOD - Systém geodetických souřadnic



Obrázek 3: Geodetické zeměpisné souřadnice. Obrázek je převzat z [Cim97].

V praktických úlohách se poloha bodu popisuje pomocí geodetických anebo elipsoidických souřadnic. Elipsoidických proto, protože se definuje pomocí zvoleného zemského elipsoidu. Ten slouží k aproximaci fyzického zemského tělesa. Základní matematické vzorce určené pro odvození elipsoidu jsou obsahem přílohy A a přehled konstant globálně užitých elipsoidů jsou obsahem přílohy B.

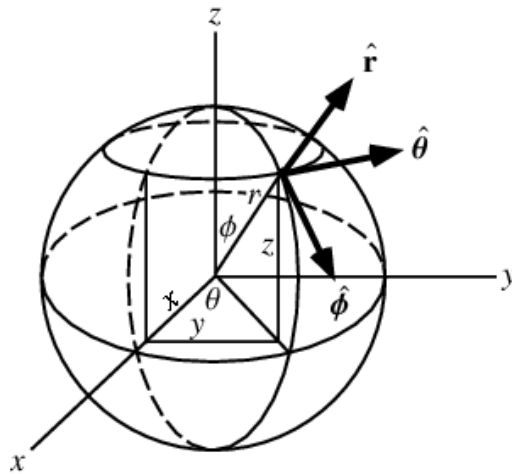
Poloha bodu **P** na obrázku 3 se vyjadřuje třemi souřadnicemi:

1. geodetickou zeměpisnou šířkou φ ,
2. geodetickou zeměpisnou délkou λ ,
3. geodetickou výškou.

Geodetická zeměpisná šířka φ bodu \mathbf{P} je úhel, který svírá normála v bodě \mathbf{P} k povrchu elipsoidu, s rovinou rovníku. Geodetická zeměpisná délka λ je úhel, který svírá rovina poledníku tohoto bodu s rovinou nultého poledníku. Za nultý poledník je mezinárodně volen ten, který prochází stabilizovaným bodem na astronomické observatoři v Greenwich. Geodetická výška se měří podél normály mezi referenčním elipsoidem a bodem \mathbf{P} .

2.4.4 SPHERE - Systém sférických souřadnic

Koule je základní a nejjednodušší aproximace zemského tělesa. Sférické souřadnice tvoří systém souřadnic, které popisují polohu bodu na sféře. Referenční koule je pak definovaná sférickým poloměrem. Pro praktické výpočty se jeho hodnota často zpočítá jako střední poměr křivosti (a to z důvodu zachování objemu elipsoidu během jeho zobrazení na kouli, t.j. v místě lokální aproximace - viz příloha A).



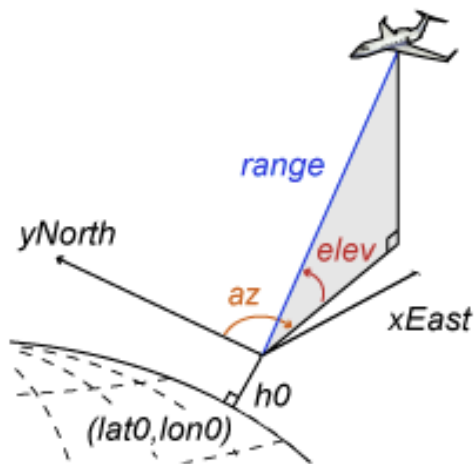
Obrázek 4: Sférické polární souřadnice. Obrázek je převzat z [Weia].

Dle situace zobrazené na obrázku 4, poloha bodu na sféře je vyjádřena soustavou tří souřadnic:

- θ hodnota azimutu v rovině rovníku. Pokud je úhel značený symbolem λ , pak poukazuje na zeměpisnou délku,
- ϕ hodnota polárního úhla počítaná od zenitu (také zenitový úhel). Pokud je úhel značený symbolem φ' , pak poukazuje na doplněk zeměpisné délky od zenitu, t.j. $\varphi = 90 - \varphi'$ a
- r , je střední polomer Zeme.

2.4.5 AES - Systém polárných súradníc

AES je súradný systém, ktorý pozostáva z týchto súradníc: azimut, elevačný uhol a spojnica medzi lokálnym počiatkom a cieľom. Jedná sa o systém polárných súradníc. Lokálny počiatok súradného systému je charakterizovaný geodetickými súradnicami lat_0, lon_0, h_0 . Na obrázku 5 je tento systém názorne zobrazený.



Obrázek 5: Polární souřadnice. Obrázek je převzat z [Mat].

3 Transformace souřadnic a jejich kovariančních matic mezi vybranými souřadnicovými soustavami

3.1 ECEF → ENU

Předpokládejme, že v tomto příkladu je uvažovaný rotační elipsoid (například WGS-84 nebo GRS-80) geocentrický, to znamená, že střed elipsoidu se nachází ve středu zemského tělesa. Transformace souřadnic pak mezi zemským geocentrickým systémem souřadnic (xyz) a lokálním topocentrickým (nebo také lokálním geodetickým - enu) systémem může být vyjádřený předpisem [Sol98]

$$\begin{bmatrix} e \\ n \\ u \end{bmatrix} = \mathbf{C}_{enu}^{xyz} \begin{bmatrix} x \\ y \\ z \end{bmatrix}. \quad (19)$$

Pro popis transformace mezi uvedenými systémy si potřebujeme odvodit transformační matici, v tomto případě takzvanou rotační matici. Vycházíme z rovnice 8. Rotační matici pak zostavíme pro rotaci v prostoru a to pomocí jednoduchých rotací v každé ose samostatně.

Rotační matice kolem osy z ve směru hodinových ručiček nabude tvar

$$\mathbf{R}_3(\theta) = \begin{bmatrix} \cos(\theta) & \sin(\theta) & 0 \\ -\sin(\theta) & \cos(\theta) & 0 \\ 0 & 0 & 1 \end{bmatrix}, \quad (20)$$

přičemž rotace kolem osy z je $\cos(\theta_{z,w}) = \cos(0) = 1$, protože úhel mezi osama z a w , které jsou v tomto příkladě totožné, je roven nule. Dále platí, že kosinus úhlu $\cos(\theta_{z,u}) = \cos(90) = 0$, protože z a u jsou na sebe kolmé. Stejně tento předpoklad platí i pro $\cos(\theta_{z,v})$, $\cos(\theta_{x,w})$ a $\cos(\theta_{y,w})$.

Analogicky postup bude platit i pro ostatní dvě rotace a tedy rotace kolem osy x je

$$\mathbf{R}_1(\theta) = \begin{bmatrix} 1 & 0 & 0 \\ 0 & \cos(\theta) & \sin(\theta) \\ 0 & -\sin(\theta) & \cos(\theta) \end{bmatrix}, \quad (21)$$

a kolem osy y

$$\mathbf{R}_2(\theta) = \begin{bmatrix} \cos(\theta) & 0 & -\sin(\theta) \\ 0 & 1 & 0 \\ \sin(\theta) & 0 & \cos(\theta) \end{bmatrix}, \quad (22)$$

Vyjádření transformační matice \mathbf{C}_{enu}^{xyz} mezi dvěma pravoúhlými kartézskými souřadnicovými systémy ECEF a ENU je založen na součinu dvou rotací, konkrétně:

1. rotaci kolem osy z o úhel $\pi/2 + \lambda$ a
2. rotaci kolem osy y o úhel $\pi/2 - \varphi$,

kde úhlové stupně λ , respektive φ geograficky představují stupeň otočení jedné soustavy od druhé ve směru zeměpisné délky (λ) a ve směru zeměpisné šířky (φ).

Potom transformace mezi systémy se dá vyjádřit ve tvaru

$$\begin{bmatrix} e \\ n \\ u \end{bmatrix} = \mathbf{R}_1(\pi/2 - \varphi) \mathbf{R}_3(\pi/2 + \lambda) \begin{bmatrix} x \\ y \\ z \end{bmatrix} = \begin{bmatrix} -\sin(\lambda) & \cos(\lambda) & 0 \\ -\cos(\lambda)\sin(\varphi) & -\sin(\lambda)\sin(\varphi) & \cos(\varphi) \\ \cos(\lambda)\cos(\varphi) & \sin(\lambda)\cos(\varphi) & \sin(\varphi) \end{bmatrix} \begin{bmatrix} x \\ y \\ z \end{bmatrix}. \quad (23)$$

Z předchozího zápisu plyne, že během rotace pravoúhlých souřadnicových soustav předpokládáme, že počátky souřadnic jsou shodné. V případě, že počátek, například soustavy ENU umístíme na povrch

referenčního tělesa (elipsoid případně sféry), je zapotřebí doplnit posun mezi soustavami. Potom rovnice 23 nabude tvar

$$\begin{bmatrix} e \\ n \\ u \end{bmatrix} = \mathbf{R} \begin{bmatrix} x - x_0 \\ y - y_0 \\ z - z_0 \end{bmatrix}, \quad (24)$$

Při transformaci kovariančních matic vycházíme z předpokladu a definice Zákona hromadění středních chyb. Budeme vycházet z článku Transformace kovariančních matic. Předpokládejme, že kovarianční matice souřadnic soustavy ze které chceme transformovat Σ_{xyz} , je známá a to například jako důsledek numerického výpočtu (regrese, vyrovnání, estimace souřadnice a jejich přesností atp.). Hlavní úlohou je v tomto kroku vyčíslit Jakobiho matici. Rozepsáním matic pro jednotlivé veličiny e, n, u z předchozích rovnic a následným parciálním derivováním podle veličin x, y, z snadno zjistíme, že Jakob matice \mathbf{J} je totožná s rotační maticí \mathbf{R} a tedy

$$\mathbf{J} = \mathbf{R}. \quad (25)$$

Kovarianční matice souřadnic systému ENU pak nadobude tvaru

$$\Sigma_{enu} = \mathbf{J} \Sigma_{xyz} \mathbf{J}^T = \mathbf{R} \Sigma_{xyz} \mathbf{R}^T. \quad (26)$$

3.1.1 Příklad transformace z ECEF \rightarrow ENU

Nechť bod A je vyjádřen v souřadnicích souřadného systému ECEF a hodnoty souřadnic jsou:

- $x = 4198944.6161$ m
- $y = 174747.2383$ m
- $z = 4781886.8769$ m

Mějme bod B, jehož geodetické souřadnice jsou $\varphi = 48.8862deg$, $\lambda = 2.3343deg$ a geodetická výška je $h = 174.5217m$. Úhlové souřadnice použijeme jednak k natočení souřadných soustav (viz rotační matice v rovnici 23) a společně se zadanou elipsoidickou výškou, k umístění počátku ENU soustavy, který umístíme nad povrch rotačního elipsoidu. Úkolem je vyjádřit souřadnice bodu A v soustavě ENU a s přihlédnutím definovaného počátku ENU soustavy v bodě B.

Vektor pravoúhlých souřadnic bodu B, tj (x_0, y_0, z_0) získáme transformací GEOD2ECEF(). ENU souřadnice bodu A s přihlédnutím k umístění počátku ENU soustavy v bodě B a vypočítané podle 24, jsou:

- $e = 3579.4232$ m
- $n = -688.3514$ m
- $u = -51.0524$ m.

Pseudokód Matlab funkce ecef2enu(), která je implementována v package +Geo je stručně popsána v příloze C.1.

3.2 ENU \rightarrow ECEF

Jednou z vlastností rotačních matic je tá, podle které $\mathbf{R}(\theta)^{-1} = \mathbf{R}(-\theta) = \mathbf{R}(\theta)^T$. Z toho plyne, že zápis pro inverzní transformaci je

$$\begin{bmatrix} x \\ y \\ z \end{bmatrix} = \mathbf{R}_3(-(\pi/2 + \lambda)) \mathbf{R}_1(-(\pi/2 - \varphi)) \begin{bmatrix} e \\ n \\ u \end{bmatrix} = \begin{bmatrix} -\sin(\lambda) & -\cos(\lambda) \sin(\varphi) & \cos(\lambda) \cos(\varphi) \\ \cos(\lambda) & -\sin(\lambda) \sin(\varphi) & \sin(\lambda) \cos(\varphi) \\ 0 & \cos(\varphi) & \sin(\varphi) \end{bmatrix} \begin{bmatrix} e \\ n \\ u \end{bmatrix}. \quad (27)$$

a po doplnění předpokladu translace počátku souřadné soustavy, rovnici 27 doplníme do tvaru

$$\begin{bmatrix} x \\ y \\ z \end{bmatrix} = \begin{bmatrix} x_0 \\ y_0 \\ z_0 \end{bmatrix} + \mathbf{R}^T \begin{bmatrix} e \\ n \\ u \end{bmatrix}, \quad (28)$$

kde pravoúhlé souřadnice vektoru $\mathbf{r}_0 = [x_0, y_0, z_0]$ získáme transformací zeměpisných souřadnic posunutého počátku například ENU soustavy (φ, λ, hel) do systému geocentrických kartézských souřadnic (například systému ECEF).

Odhad kovarianční matice Σ_{xyz} geocentrických pravohlých souřadnic kopíruje postup jako v případě odhadu matice Σ_{enu} , no s tím rozdílem, že zde je

$$\mathbf{J} = \mathbf{R}^{-1}, \quad (29)$$

respektive vzhledem k vlastnostem matice rotace \mathbf{R}

$$\mathbf{J} = \mathbf{R}^T. \quad (30)$$

Pro Σ_{xyz} pak dostaneme

$$\Sigma_{xyz} = \mathbf{J} \Sigma_{enu} \mathbf{J}^T. \quad (31)$$

3.2.1 Příklad transformace z ENU \rightarrow ECEF

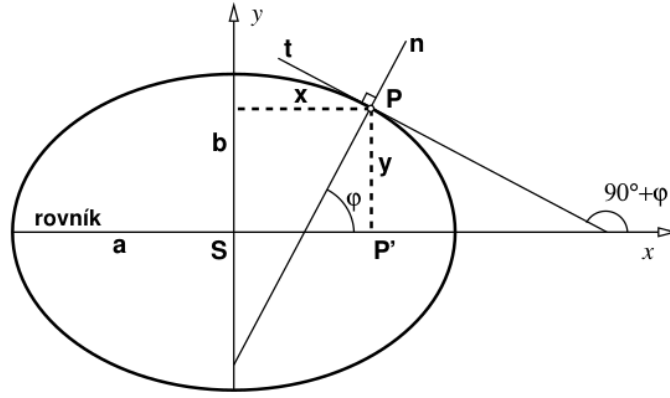
V tomto příkladě bude naší úlohou prezentovat inverzní transformaci, no vycházejme z výsledků výpočtu polohy bodu v ENU soustavě souřadnic, t.j. souřadnic pro bod B v předcházejícím příkladě. Jeho souřadnice jsou:

- $e = 3579.4232$ m
- $n = -688.3514$ m
- $u = -51.0524$ m.

Dle rovnice 28, ECEF XYZ souřadnice bodu A jsou:

- $x = 4198944.6161$ m
- $y = 174747.2383$ m
- $z = 4781886.8769$ m.

Pseudokód Matlab funkce `enu2ecef()`, která je implementována v package `+Geo Package` je obsahem přílohy C.2



Obrázek 6: $\varphi \rightarrow (x, y)$. Obrázek je převzat z [Cim97].

3.3 GEOD \rightarrow ECEF

Aby sme odvodili základní vzorce pro transformaci geodetických souřadnic na geocentrické pravouhlé kartézské souřadnice, je potřeba si vysvětlit základní geometrii mezi těmito souřadnicovými soustavami. V textu se budeme držet kompletního odvození a prepisu tak, jak je prezentován v kapitole 1.2 skriptu [Cim97].

Na obr. 6 svírá normála n v bode \mathbf{P} k elipse s velkou poloosou a (s osou x) úhel φ (geodetická šířka bodu \mathbf{P}). Odpovídající tečna t svírá s kladným směrem osy x úhel $90^\circ + \varphi$ a její směrnice k je dána vzorcem

$$k = \frac{dy}{dx} = \tan(90^\circ + \varphi) = -\cot(\varphi). \quad (32)$$

Diferencováním rovnice meridiánové elipsy

$$\frac{x^2}{a^2} + \frac{y^2}{b^2} - 1 = 0 \quad (33)$$

dostaneme

$$\frac{2xdx}{a^2} + \frac{2ydy}{b^2} = 0 \quad (34)$$

a odtud

$$\frac{dy}{dx} = -\frac{b^2x}{a^2y}. \quad (35)$$

Z předcházejících rovnic vyplývá

$$\cot(\varphi) = \frac{b^2x}{a^2y} = \frac{\cos(\varphi)}{\sin(\varphi)}. \quad (36)$$

Po umocnění a úpravě

$$b^4x^2 \sin^2(\varphi) - a^4y^2 \cos^2(\varphi) = 0 \quad (37)$$

a dále víme, že

$$b^2x^2 + a^2y^2 - a^2b^2 = 0. \quad (38)$$

Řešením těchto dvou (pro x^2, y^2 lineárních) rovnic dostaneme

$$x = \frac{a^2 \cos(\varphi)}{\sqrt{a^2 \cos^2(\varphi) + b^2 \sin^2(\varphi)}} \quad (39)$$

a

$$y = \frac{b^2 \sin(\varphi)}{\sqrt{a^2 \cos^2(\varphi) + b^2 \sin^2(\varphi)}}. \quad (40)$$

Do jmenovatele dosadíme $b^2 = a^2(1 - e^2)$, potom po úpravě dostaneme

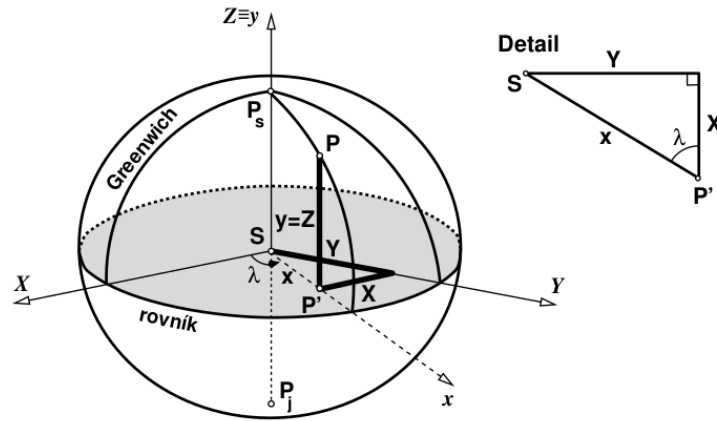
$$x = \frac{a \cos(\varphi)}{\sqrt{1 - e^2 \sin^2(\varphi)}} = \frac{a \cos(\varphi)}{W} \quad (41)$$

a

$$y = \frac{a(1-e^2)\sin(\varphi)}{\sqrt{1-e^2\sin^2(\varphi)}} = \frac{a(1-e^2)\sin(\varphi)}{W}, \quad (42)$$

kde $W = \sqrt{1 - e^2 \sin^2(\varphi)}$ je první geodetická funkce.

Polohu bodu P na rotačním elipsoidu vyjádříme v pravouhlé soustavě souřadnic. Její počátek je v středu elipsoidu S , osa Z v ose rotace, osa X v průsečniku roviny rovníku s rovinou nultého poledníku, osa Y v rovině rovníku kolmá na osu X - tak jak je to znázorněno na obrázku 7.



Obrázek 7: Prostorové pravouhlé souřadnice. Obrázek je převzat z [Cim97].

Bodem $P(\varphi, \lambda)$ prochází poledník $P_s - P - P_j - P_s$ o geodetické délce φ . V rovině tohoto poledníku má bod P pravouhlé souřadnice x, y , odvozené vzorci 41, 42.

Podle obrázka 7 napíšeme pro souřadnice X , Y , Z bodu P vzorce

$$X = x \cos(\lambda) \quad (43)$$

$$Y = x \sin(\lambda) \quad (44)$$

$$Z = y. \quad (45)$$

Dosadíme-li do předchozích vzorců za x a y rovnice 41 a 42, dostaneme

$$X = \frac{a}{W} \cos(\varphi) \cos(\lambda) \quad (46)$$

$$Y = \frac{a}{W} \cos(\varphi) \sin(\lambda) \quad (47)$$

$$Z = \frac{a}{W} (1 - e^2) \sin(\varphi). \quad (48)$$

Uvážíme-li vzorec pro příčný poloměr křivosti

$$N = \frac{a}{W}, \quad (49)$$

potom geocentrické pravouhlé souřadnice bodu P budou mít vzorce

$$\begin{bmatrix} X \\ Y \\ Z \end{bmatrix} = \begin{bmatrix} N \cos(\varphi) \cos(\lambda) \\ N \cos(\varphi) \sin(\lambda) \\ N(1 - e^2) \sin(\varphi) \end{bmatrix}. \quad (50)$$

V případě, že bod P leží ve směru normály k elipsoidu ve výšce H nad elipsoidem, pak předchozí rovnice budou

$$\begin{bmatrix} X \\ Y \\ Z \end{bmatrix} = \begin{bmatrix} (N + H) \cos(\varphi) \cos(\lambda) \\ (N + H) \cos(\varphi) \sin(\lambda) \\ (N[1 - e^2] + H) \sin(\varphi) \end{bmatrix}. \quad (51)$$

Předpokládejme, že kovarianční matice souřadnic φ, λ a H , Σ_{GEOD} je známá. Pro odhad kovarianční matice prostorových pravouhlých souřadnic X, Y, Z , Σ_{ECF} budeme postupovat podle článku Transformace kovariančních matíc. Z článku víme, že úlohou je vyjádřit Jakobiho matici \mathbf{J} . Derivováním modelu rovnic X, Y, Z z poslední rovnice podle veličin φ, λ a H , postupně dostaneme:

$$\mathbf{J} = \begin{bmatrix} \frac{\partial X}{\partial \varphi} & \frac{\partial X}{\partial \lambda} & \frac{\partial X}{\partial H} \\ \frac{\partial Y}{\partial \varphi} & \frac{\partial Y}{\partial \lambda} & \frac{\partial Y}{\partial H} \\ \frac{\partial Z}{\partial \varphi} & \frac{\partial Z}{\partial \lambda} & \frac{\partial Z}{\partial H} \end{bmatrix}. \quad (52)$$

Pro jednotlivé složky platí:

$$\frac{\partial X}{\partial \varphi} = \cos(\lambda) \left(\frac{\partial N}{\partial \varphi} \cos(\varphi) - \sin(\varphi) (N + H) \right), \quad (53)$$

$$\frac{\partial X}{\partial \lambda} = - (N + H) \cos(\varphi) \sin(\lambda), \quad (54)$$

$$\frac{\partial X}{\partial H} = \cos(\varphi) \cos(\lambda), \quad (55)$$

$$\frac{\partial Y}{\partial \varphi} = \sin(\lambda) \left(\frac{\partial N}{\partial \varphi} \cos(\varphi) - \sin(\varphi) (N + H) \right), \quad (56)$$

$$\frac{\partial Y}{\partial \lambda} = (N + H) \cos(\varphi) \cos(\lambda), \quad (57)$$

$$\frac{\partial Y}{\partial H} = \cos(\varphi) \sin(\lambda), \quad (58)$$

$$\frac{\partial Z}{\partial \varphi} = \frac{b^2}{a^2} \left(\sin(\varphi) \frac{\partial N}{\partial \varphi} + \cos(\varphi) N \right) + H \cos(\varphi), \quad (59)$$

$$\frac{\partial Z}{\partial \lambda} = 0, \quad (60)$$

$$\frac{\partial Z}{\partial H} = \sin(\varphi), \quad (61)$$

kde

$$\frac{\partial N}{\partial \varphi} = \frac{ae^2 \sin(\varphi) \cos(\varphi)}{(1 - e^2 \sin^2(\varphi))^{3/2}} \quad (62)$$

a veličiny a , e , N jsou hlavní poloosy meridiánové elipsy, její první excentricita a příčný poloměr křivosti.

Kovarianční matice souřadnic prostorového pravouhlého souřadnicového systému ECEF je s přihlédnutím k právě definované Jakobiho matici

$$\Sigma_{ECEF} = \mathbf{J} \Sigma_{GEOD} \mathbf{J}^T. \quad (63)$$

3.3.1 Příklad transformace z GEOD → ECEF

Ukážme si příklad transformace z geodetických souřadnic do prostorových pravouhlých souřadnic.

Bod P ležící na elipsoidu má geodetické souřadnice:

- $\varphi = 48.8562^\circ$
- $\lambda = 2.3508^\circ$
- $h = 0.0674m$.

Po aplikování rovnice 51 (uvažujeme rotační elipsoid WGS-84 tak jak je definován v B.1), prostorové geocentrické souřadnice bodu P jsou:

- $X = 4200952.53m$
- $Y = 172458.50m$
- $Z = 4780052.13m$.

Pseudokód Matlab funkce `geod2ecef()`, která je implementována v package `+Geo Package` je obsahem přílohy C.3.

3.4 ECEF → GEOD

Existuje celá řada metod, které se zaměřují na inverzní transformaci souřadnic z pravouhlého prostorového systému souřadnic na systém geodetických zeměpisných souřadnic. Práce se speciálně zaměřují na převod geodetické šířky φ a to hlavně z důvodu přesnosti jejího odhadu (víme, že z důvodu zploštění referenčního tělesa, v našem případě elipsoidu, geodetická šířka není definována na spojnici středu elipsoidu a bodu P na povrchu elipsoidu a proto nastávají problémy řešení rovnice pro odhad geodetické šířky ze vstupních parametrů, které jsou pravouhlé geocentrické souřadnice) nebo z důvodu výpočetního (geodetická šířka se počítá buď iterativními metodami nebo neiterativními). Z odborných článků, které se věnují tomuto problému bychom mohli citovat například [Bow76], [Bor89] nebo z aktuálních prací [Fuk06] či [Ver11] (implementován v `+ Geo package`). Autoři, v práci [FI03] se věnovali vzájemnému srovnání vybraných (do toho roku známých) algoritmů.

Jeden ze základních algoritmů (bez ověření přesnosti či výpočetní rychlosti) na odhad geodetických souřadnic (φ, λ, h) počítaných z pravouhlých kartézských souřadnic X, Y, Z je tento [GAB01]:

$$\lambda = \tan^{-1} \left(\frac{Y}{X} \right), \quad (64)$$

$$\varphi = \tan^{-1} \left(\frac{Z + \frac{e^2 a^2 \sin^3(\zeta)}{b}}{\xi - e^2 a \cos(\zeta)} \right), \quad (65)$$

a

$$h = \frac{\xi}{\cos(\varphi)} - N, \quad (66)$$

kde

$$\zeta = \tan^{-1} \left(\frac{aZ}{b\xi} \right) \quad (67)$$

$$\xi = \sqrt{X^2 + Y^2}, \quad (68)$$

a N je příčný poloměr křivosti, a je hlavní poloosa meridiánové elipsy, b je vedlejší poloosa meridiánové elipsy a e je její excentricita.

Odhad kovarianční matice geodetických souřadnic bodu v geodetickém souřadnicovém systému nebude záviset na komplikovaných iteračních postupech spojených s odhadem zeměpisné šířky. S výhodou využijeme výsledných rovnic popsanych v části textu, kde se věnujeme transformaci geodetických souřadnic bodu do systému prostorových pravouhlých souřadnic, respektive transformační Jacobiho matice, kterou jsme z těchto rovnic odvodili. Inverze takto odvozené Jacobiho matice nám v této části poslouží k odhadu kovarianční matice výsledných geodetických souřadnic. Proto pro kovariační matici geodetických souřadnic transformované ze soustavy prostorových souřadnic bude

$$\Sigma_{GEOD} = \mathbf{J}^{-1} \Sigma_{ECEF} (\mathbf{J}^{-1})^T. \quad (69)$$

3.4.1 Příklad transformace z ECEF → GEOD

Příklad transformace z prostorových pravouhlých souřadnic do systému geodetických souřadnic.

Bod P ležící na elipsoidu má tentokrát prostorové spūřadnice:

- $X = 4200952.53m$
- $Y = 172458.50m$
- $Z = 4780052.13m$.

Po aplikování algoritmu například [Ver11] (uvažujeme rotační elipsoid WGS-84 tak jak je definován v B.1), pak prostorové geocentrické souřadnice bodu P jsou:

- $\varphi = 48.8562^\circ$
- $\lambda = 2.3508^\circ$
- $h = 0.0674m$.

Pseudokód Matlab funkce `ecef2geod()`, která je implmentována v package +Geo Package je obsahem přílohy C.4.

3.5 ENU → AES

Algoritmus určený na odhad polárných sūřadnic (Az - azimut, El - elevační uhol a Sr - šikmá spojnice mezi lokálním počiatkom a cieľom) počítaných s lokálnych pravouhlých sūřadnic například sūřadného systému ENU je tento:

$$\tan(Az) = \frac{E}{N}, \quad (70)$$

$$\tan(El) = \frac{U}{\sqrt{E^2 + N^2}}, \quad (71)$$

$$Sr = \sqrt{E^2 + N^2 + U^2}. \quad (72)$$

3.5.1 Příklad transformace z ENU \rightarrow AES

Příklad transformace z lokálních pravouhlých souřadnic do systému polárních souřadnic.

Bod P , například cíl, kterého poloha je charakterizována v souřadnicovém systému ENU má prostorové souřadnice:

- $E = 8.4504m$
- $N = 12.4737m$
- $U = 1.1046m$.

Polárne souřadnice tohoto cíle jsou:

- $Az = 34.1160^\circ$
- $El = 4.1931^\circ$
- $Sr = 15.1070m$.

3.6 AES \rightarrow ENU

Spätný algoritmus určený na odhad lokálních pravouhlých souřadnic (E - East, N - North, U - Up) počítaných z polárních souřadnic AES (Az - azimuth, El - elevační uhol a Sr - šikmá spojnice mezi lokálním počátkem a cílem) je tento:

$$E = Sr \cdot \cos(El) \cdot \sin(Az), \quad (73)$$

$$N = Sr \cdot \cos(El) \cdot \cos(Az), \quad (74)$$

$$U = Sr \cdot \sin(El). \quad (75)$$

3.6.1 Příklad transformace z AES \rightarrow ENU

Bod P , je definován pomocí polárních souřadnic.

- $Az = 34.1160^\circ$
- $El = 4.1931^\circ$
- $Sr = 15.1070m$.

Lokální pravouhlé souřadnice tohoto cíle jsou:

- $E = 8.4504m$
- $N = 12.4737m$
- $U = 1.1046m$.

4 Vybrané kartografické zobrazení

Z hlediska zkreslení zobrazení rozlišujeme na:

1. konformní - stejnouhlá,
2. ekvidistantní - stejnodelná,
3. ekvivalentní - stejnoplochá,
4. kompenzační - vyrovnávací.

Z pohledu k třídění zobrazovací plochy, pomocí které si můžeme představit vznik obrazu referenční plochy rozlišujeme:

1. zobrazení na kulovou plochu,
2. jednoduchá zobrazení (kuželová, válcová, azimutální),
3. nepravá zobrazení (pseudokonická, pseudocylindrická, pseudoazimutální),
4. polykónická,
5. polyederická,
6. obecná.

My popíšeme jenom vybrané jednoduchá zobrazení a to konkrétně válcová (UTM) a azimutální (stereografická projekce).

4.1 Definice a některé vlastnosti vybraných kartografického zobrazení

Kartografickým zobrazením je podle [Buc02] vzájemné přiřazení polohy bodů na dvou různých referenčních plochách. V některých případech, kdy je možno vztah realizovat geometrickou cestou (promítáním), podle [Buc02] budeme takové zobrazení nazývat projekcí neboli prospektivním zobrazením.

Zobrazení je jednoznačně matematicky definováno vtažením mezi souřadnicemi bodů na obou referenčních plochách, kterému říkáme zobrazovací rovnice. Například zobrazení elipsoidu do roviny budou zobrazovací rovnice v explicitním tvaru

$$X = f(\varphi, \lambda), \quad (76)$$

$$Y = g(\varphi, \lambda), \quad (77)$$

kde funkce f , g v určitém místě považujeme za spojité, obecně na sobě mezívislé, diferencovatelné apod. Výjimky představují singulární body (např. póly), kde uvedená vlastnost není obecně splněna.

4.1.1 Poznámky k jednoduchým zobrazením

Pro naše účely nás budou zajímat jenom jednoduchá zobrazení. Jednoduchá zobrazení jsou taková zobrazení, pro něž je možno zapsat zobrazovací rovnice, podle nichž každá z rovinných souřadnic (polárních nebo pravoúhlých) a výrazy pro zkreslení (závislé proměnné) se dají vyjádřit funkcemi pouze jedné souřadnice (nezávislé proměnné) na referenční ploše. Důsledkem takové jednoduché volby je pak i jednoduchý obraz poledníků a rovnoběžek, které jsou pak na mapě znázorněny jako svazek přímek či osnova rovnoběžných přímek (u poledníku) a soustava rovnoběžných kružnic či osnova rovnoběžných přímek (u rovnoběžek). Jednoduchá zobrazení jsou ortogonální (viz [Buc02], str. 51).

4.2 Poznámky k valcovým zobrazením

Válcová zobrazení v normální poloze mají tyto vlastnosti [Buc02]:

1. rovník a rovnoběžky se zobrazují jako osnova rovnoběžných přímek,
2. obrazy poledníků tvoří osnovu přímek vzájemně stejně odlehých rovnoběžných a kolmých na obrazy rovnoběžek,
3. obraz základního poledníku volíme jako osu Y ,
4. zobrazovací rovnice pro Y je veličina Y funkcí pouze (φ) .
5. do obrazu rovníku vkládáme osu X (u souřadnicových systému používaných v geodézii je orientace opačná),
6. zobrazovací rovnice pro X je X lineární funkcí zeměpisné délky (λ) .

Zkreslení v poledníku a rovnoběžce jsou:

$$m_p = \frac{dY}{M d\varphi} \quad (78)$$

$$m_r = \frac{dX}{N \cos(\varphi) d\lambda} = \frac{a}{N \cos(\varphi)}, \quad (79)$$

kde M , N jsou meridiánový a příčný poloměr křivosti, a je hlavní poloosa meridiánové elipsy a φ je zeměpisná šířka.

Protože poledník a rovnoběžka tvoří u válcových zobrazení hlavní paprsky, je pro konformitu jedinou a postačující podmínkou

$$m_p = m_r,$$

a při referenční ploše elipsoidické a nezakresleném rovníku bude pro dosažení 78 a 79, platit:

$$\frac{dY}{M d\varphi} = \frac{a}{N \cos(\varphi)}. \quad (80)$$

Po separaci proměnných dostaneme

$$dY = a \frac{M}{N \cos(\varphi)} d\varphi, \quad (81)$$

kde na pravé straně rovnice se vyskytuje výraz pro tzv. izometrickou šířku.

Izometrická šířka q , která je funkcí zeměpisné šířky φ , je definována:

$$q = \int_0^\varphi \frac{M}{N \cos(\varphi)} d\varphi \quad (82)$$

a po dosažení za M a N dostaneme

$$\begin{aligned} q &= \int_0^\varphi \frac{(1 - e^2)}{(1 - e^2 \sin^2(\varphi)) \cos(\varphi)} d\varphi \\ &= \int_0^\varphi \frac{(1 - e^2 \sin^2(\varphi) - e^2 \cos^2(\varphi)) d\varphi}{(1 - e^2 \sin^2(\varphi)) \cos(\varphi)} \\ &= \int_0^\varphi \frac{d\varphi}{\cos(\varphi)} - \int_0^\varphi \frac{e \cos(\varphi) d\varphi}{1 - e^2 \sin^2(\varphi)} \\ &= \ln \tan\left(\frac{\varphi}{2} + \frac{\pi}{4}\right) - e \int_0^\varphi \frac{d(e \sin(\varphi))}{1 - e^2 \sin^2(\varphi)}, \end{aligned} \quad (83)$$

a po proložení $x = e \sin(\varphi)$ v posledním integrálu, z něhož plyne, že

$$\int \frac{dx}{1-x^2} = \frac{1}{2} \ln \left(\frac{1+x}{1-x} \right) = \frac{1}{2} \ln \left(\frac{1+e \sin(\varphi)}{1-e \sin(\varphi)} \right) \quad (84)$$

a pro izometrickou šířku pak platí

$$q = \ln \left[\tan \left(\frac{\varphi}{2} + \frac{\pi}{4} \right) \left(\frac{1-e \sin(\varphi)}{1+e \sin(\varphi)} \right)^{\frac{e}{2}} \right]. \quad (85)$$

Po dosazení 85 do 81 dostaneme [Buc02], [Sny87]:

$$Y = a \ln \left[\tan \left(\frac{\varphi}{2} + \frac{\pi}{4} \right) \left(\frac{1-e \sin(\varphi)}{1+e \sin(\varphi)} \right)^{\frac{e}{2}} \right]. \quad (86)$$

Protože X je lineární funkce zeměpisné délky, pro vyždřední souřadnice X platí:

$$X = a(\lambda - \lambda_0). \quad (87)$$

Inverzní vzorec pro veličinu φ v případě spětné transformace vyžaduje počítání přes iterační proces a základní rovnice je definována ve tvaru [Sny87]

$$\varphi = \frac{\pi}{2} - 2 \tan^{-1} \left\{ t \left[\frac{1-e \sin(\varphi)}{1+e \sin(\varphi)} \right]^{\frac{e}{2}} \right\}, \quad (88)$$

kde

$$t = e^{-\frac{Y}{a}}$$

a iterační proces začíná výpočtem

$$\varphi = \frac{\pi}{2} - 2 \tan^{-1}(t)$$

a pokračuje pokud není dosažení zvolená konvergenční hranice.

Inverzní zeměpisná délka se vypočte podle rovnice:

$$\lambda = \frac{X}{a} + \lambda_0. \quad (89)$$

Konformní transversální válcové zobrazení

Konformní transversální válcové zobrazení nazývané také Gaussovo (pro elipsoidickou referenční plochu) nebo transversální Mercatorovo, je specifické tím, že válec se dotýká referenční koule (elipsoidu) podél základního poledníku, procházejícího středem území. Kartografické poledníky a rovnoběžky se pak zobrazují jako zeměpisné polidníky a rovnoběžky v normální poloze.

Uplatnění našlo také konformní válcové zobrazení v obecné poloze (v literatuře Oblique Mercator Projection). Délkově zachovává zvolený kartografický rovník.

Universální transversální zobrazení v poledníkových pásích, zobrazení systému UTM

V zobrazeních, v kterých má být užito v poloze jiné než normální, zobrazuje se nejdřív elipsoid na kouli a pak terpe s koule na zobrazovací plochu, [Buc02]. V případě Gauss (Gauss-Krügerova) zobrazení, elipsoid je zobrazován přímo do roviny, tedy bez zprostředkující koule a to tak, že meridiální pruhy stejné šířky se zobrazují samostatně. Určující podmínkou je konformita a nezkreslený základní (střední) poledník pásu.

4.3 GEOD → UTM

V knize [Buc02] se uvádí podrobné odvození zobrazovacích rovnic. Z pohledu programátorského je možná výhodnější popsat algoritmus, který se nachází v knize [Sny87] (vzorce platí pro elipsoid).

$$x = k_0 N \left[A + (1 - T + C) \frac{A}{6} + \left(5 - 18T + T^2 + 72C - 58e'^2 \right) \frac{A^5}{120} \right] \quad (90)$$

$$y = k_0 \left\{ B - B_0 + N \tan(\varphi) \left[\frac{A^2}{2} + (5 - T + 9C + 4C^2) \frac{A^4}{24} + \left(61 - 58T + T^2 + 600C - 330e'^2 \right) \frac{A^6}{720} \right] \right\} \quad (91)$$

$$k = k_0 \left[1 + (1 + C) \frac{A^2}{2} + \left(5 - 4T + 42C + 13C^2 - 28e'^2 \right) \frac{A^4}{24} + \left(61 - 148T + 16T^2 \right) \frac{A^6}{720} \right], \quad (92)$$

kde

- k_0 je multiplikační konstanta $k_0 = 0.9996$,
- e'^2 je druhá excentricita rotačního elipsoidu definovaná také pomocí $e'^2 = e^2 / (1 - e^2)$,
- N je příčný poloměr křivosti rotačního elipsoidu,
- $T = \tan^2(\varphi)$,
- $C = e'^2 \cos^2(\varphi)$,
- $A = (\lambda - \lambda_0) \cos(\varphi)$ předpokládajíc, že λ a λ_0 jsou v radiánech,
- B je délka oblouku meridiánu od rovníku po φ . $B_0 = B$ zpočtená pro φ_0 a platí

$$\begin{aligned} B = & a \left(1 - \frac{e^2}{4} - \frac{3e^4}{64} - \frac{5e^6}{256} - \dots \right) \varphi \\ & - a \left(\frac{3e^2}{8} + \frac{3e^4}{32} + \frac{45e^6}{1024} - \dots \right) \sin(2\varphi) \\ & + a \left(\frac{15e^4}{256} + \frac{45e^6}{1024} + \dots \right) \sin(4\varphi) \\ & - a \left(\frac{35e^6}{3072} + \dots \right) \sin(6\varphi) \end{aligned} \quad (93)$$

- φ je zeměpisná délka v radiánech.

Pokud $\varphi \pm \pi/2$, pak $x = 0$, $y = k_0 (B - B_0)$ a $k = k_0$.

Jednotlivé osi souřadnic jsou dané takto: Yová osa leží v obraze základního poledníku λ_0 a y roste směrem na sever. Xová osa je kolmá na Y a x roste směrem na východ.

4.4 UTM → GEOD

Pro inverzní vzorec podle [Sny87] platí:

$$\begin{aligned} \varphi = \varphi_1 & - G \left[\frac{D^2}{2} - \left(5 + 3T_1 + 10C_1 - 4C_1^2 - 9e'^2 \right) \frac{D^4}{24} \right] \\ & - G \left[\left(61 + 90T_1 + 298C_1 + 45T_1^2 - 252e'^2 - 3C_1^2 \right) \frac{D^6}{720} \right], \end{aligned} \quad (94)$$

$$\lambda = \lambda_0 + \frac{D - (1 + 2T_1 + C_1) \frac{D^3}{6} + \left(5 - 2C_1 + 28T_1 - 3C_1^2 + 8e'^2 + 24T_1^2\right) \frac{D^5}{120}}{\cos(\varphi_1)}, \quad (95)$$

kde

- $G = \left(\frac{N_1 \tan(\varphi_1)}{R_1} \right)$
- φ_1 je zeměpisná šířka charakteristická pro centrální meridián a která má stejnou y souřadnici jako bod, kterého polární souřadnice jsou (φ, λ)

$$\begin{aligned} \varphi_1 = \mu &+ \left(\frac{3e_1}{2} - \frac{27e_1^3}{32} + \dots \right) \sin 2\mu \\ &+ \left(\frac{21e_1}{16} - \frac{55e_1^4}{32} + \dots \right) \sin 4\mu \\ &+ \left(\frac{151e_1^3}{96} + \dots \right) \sin 6\mu \\ &+ \left(\frac{1097e_1^4}{512} - \dots \right) \sin 8\mu \end{aligned}$$

- $e_1 = \frac{1 - \sqrt{1 - e^2}}{1 + \sqrt{1 - e^2}}$
- $\mu = \frac{B}{a \left(1 - \frac{e^2}{4} - \frac{3e^4}{64} - \frac{5e^6}{256} - \dots \right)}$
- B_0 je spočtená pomocí rovnice 93 pro vstupní φ_0 ,
- $B = B_0 + \frac{y}{k_0}$,
- $e'^2 = \frac{e^2}{(1 - e^2)}$,
- $C_1 = e'^2 \cos^2(\varphi_1)$,
- $T_1 = \tan^2(\varphi_1)$,
- $N_1 = \frac{a}{\sqrt{(1 - e^2 \sin^2(\varphi_1))}}$,
- $R_1 = \frac{a(1 - e^2)}{(1 - e^2 \sin^2(\varphi_1))^{3/2}}$,
- $D = \frac{x}{N_1 k_0}$.

Meridiánová konvergence

Meridiánová konvergence je podle [Mer] úhel určitém bodu referenční plochy mezi tečnami k místnímu poledníku a ke křivce rovnoběžné se základním poledníkem; může být elipsoidická meridiánová konvergence, sférická meridiánová konvergence a rovinná meridiánová konvergence.

V knize [Buc02], vzorec pro výpočet meridiánové konvergence γ je (bez odvození)

$$\begin{aligned} \tan(\gamma) &= \lambda \sin(\varphi) + \frac{\lambda^3}{3} \sin(\varphi) \cos^2(\varphi) (1 + \tan^2(\varphi) + 3\eta^2 + 2\eta^4) \\ &+ \frac{\lambda^5}{15} \sin(\varphi) \cos^4(\varphi) (2 + 4\tan^2(\varphi) + 2\tan^4(\varphi)) + \dots, \end{aligned} \quad (96)$$

$$\text{kde } \eta^2 = \frac{e^2 \cos^2(\varphi)}{1 - e^2}.$$

Délkové zkreslení

Délkové zkreslení je funkcí zeměpisných souřadnic a pro jeho výpočet platí [Buc02]:

$$m = 1 + \frac{\lambda}{2} \cos^2(\varphi). \quad (97)$$

Chceme-li délkové zkreslení zpočítat z pravouhlých souřadnic, pak vzorec pro výpočet je tento:

$$m = 1 + \frac{y^2}{2R^2} + \frac{y^4}{24R^4} + \dots, \quad (98)$$

avšak $R = \sqrt{MN}$ je funkcí zeměpisné šířky φ .

4.5 Poznámky k azimutálním zobrazením

Azimutální zobrazení si můžeme představit tak, že obraz referenčního tělesa vzniká již přímo v rovině [Buc02], str. 99. V tomto zobrazení je rovina kolmá ke spojnici kartografického pólu se středem referenční koule (pozor na projekci z elipsoidu). Následující text se týká odvození zobrazení vývozené z referenční koule. V knize [Sny87] se diskutuje algoritmus respektive vzorce platné pro elipsoid.

Z azimutálního zobrazení jsou známá některé vlastnosti, například:

- Obrazem poledníků je svazek přímek s vrcholem v kartografickém pólu a které svírají stejné úhly jako na kouli.
- Základní poledník se zobrazí jako osa X.
- Obrazem rovnoběžek jsou kružnice se středem v kartografickém pólu. Poloměr těchto rovnoběžek závisí na kartografické šířce.

Zobrazovací rovnice jsou:

$$\rho = f(\psi), \quad (99)$$

kde $\psi = 90^\circ - \varphi$, kde v tomto případě φ je kartografická šířka (odvozená na kouli a ne na elipsoidu).

$$\varepsilon = \lambda, \quad (100)$$

kde λ v tomto případě reprezentuje kartografickou délku.

Funkci f v případě první zobrazovací rovnice definujeme na základě požadavků, nejčastěji z ekvivalence, ekvivalence či konformity. Nás bude zajímat konformní zobrazení, protože stereografická projekce zachovává konformitu úhlů.

V azimutálním zobrazení můžeme zavést pravouhlou rovinnou soustavu, kde pravoúhlé souřadnice X, Y získáme transformací polárních souřadnic na pravoúhlé souřadnice. Počátek takové souřadnicové soustavy je potom někdy vhodné pomocí aditačních konstant přesunout do libovolného místa vzhledem k středu zobrazovaného území a to tak, aby souřadnice v tomto území měly kladnou hodnotu.

K transformaci polárních souřadnic do soustavy pravouhlých souřadnic použijeme výrazy:

$$X = \rho \cos(\varepsilon), \quad (101)$$

$$Y = \rho \sin(\varepsilon), \quad (102)$$

resp. pro inverzní případ platí:

$$\rho = \sqrt{X^2 + Y^2}, \quad (103)$$

a

$$\varepsilon = \tan^{-1} \left(\frac{Y}{X} \right). \quad (104)$$

Jak už bylo nastíněno, nás bude zajímat konformní zobrazení. Pro konformní azimutální zobrazení je jedninou a postačující podmínkou

$$\frac{d\rho}{R d\psi} = \frac{\rho}{R \sin(\psi)}. \quad (105)$$

Po separaci proměnných

$$\frac{d\rho}{\rho} = \frac{d\psi}{\sin(\psi)} \quad (106)$$

a po integraci dostaneme

$$\ln(\rho) = \ln \left(\tan \left(\frac{\psi}{2} \right) \right) + \ln(C), \quad (107)$$

kde C je libovolná integrační konstanta a z poslední rovnice plyne, že

$$\rho = C \tan \left(\frac{\psi}{2} \right). \quad (108)$$

Pokud zavedeme podmínku, aby pro střed mapy (pro pól) platilo $m = 1$, pak (bez odvození - viz [Buc02]), $C = 2R$, takže zobrazovací rovnice jsou

$$\rho = 2R \tan \left(\frac{\psi}{2} \right) \quad (109)$$

a

$$\varepsilon = \lambda. \quad (110)$$

Výraz pro zkreslení m je

$$m = \frac{1}{\cos \left(\frac{\psi}{2} \right)}. \quad (111)$$

Pokud chceme stanovit v pólu konkrétní délkové zkreslení různě od jedné, je možné, podobně jako v případě UTM zobrazení, zavést multiplikační konstantu, jejíž velikost udává délkové zkreslení v pólu. Platí

$$C = k2R. \quad (112)$$

Vedle konformity má zobrazení důležitou vlastnost, že každá kružnice na referenční ploše kulové se zobrazuje opět jako kružnice. Tedy obrazy geografické sítě se skládá ze samých kružnic respektive přímk (kružnice s nulovou křivostí).

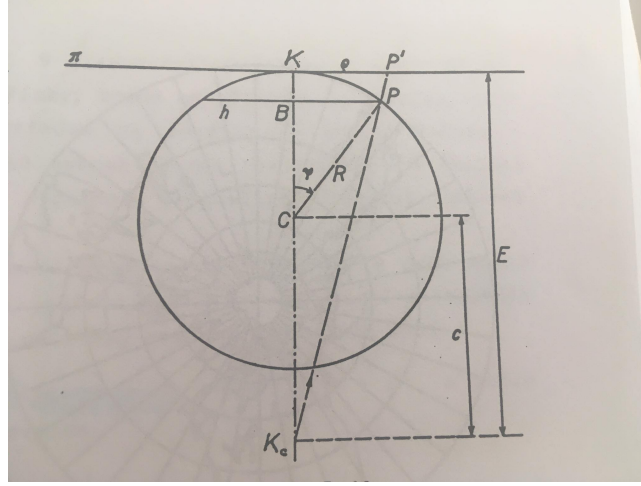
Výraz pro délkové zrekslení je možné vyjádřit i za použití rovinných souřadnic a to v tvaru

$$m = 1 + \frac{X^2 + Y^2}{4R^2}, \quad (113)$$

kde R je poloměr koule.

4.6 GEOD → STEREO

Azimutální (geometrické) projekce vznikají promítnutím povrchu referenční koule o poloměru R z libovolného bodu K_c na rovinu π , kolmou ke spojnici středu promítání K_c se středem koule C . Podle předchozího obrázku, který znázorňuje osový řez rovinou promítacího paprsku bodu P , je obraz bodu P' určen v rovině π polárními souřadnicemi ρ, ε .



Obrázek 8: Geometrická azimutální projekce. Obrázek je převzat z [Buc02].

Z obrázku plyne tato nerovnost

$$\frac{\rho}{R \sin(\psi)} = \frac{E}{c + R \cos(\psi)}, \quad (114)$$

kde $E = K_c K$ a $c = K_c C$, kde C je střed koule. Takže zobrazovací rovnice azimutálních zobrazení budou

$$\rho = \frac{RE \sin(\psi)}{c + R \cos(\psi)} \quad (115)$$

a

$$\varepsilon = \lambda. \quad (116)$$

Vztahy pro výpočet pravouhlých souřadnic transformované z polárních souřadnic, resp. přímo ze zeměpisných souřadnic jsou (porovnej s [Weib] anebo [TDBS77], kde je přehozené značení souřadnicových os).

$$X = \frac{RE (-\cos(\varphi_K) \sin(\varphi) + \sin(\varphi_K) \cos(\varphi) \cos(\Delta\lambda))}{c + R (\sin(\varphi_K) \sin(\varphi) + \cos(\varphi_K) \cos(\varphi) \cos(\Delta\lambda))}, \quad (117)$$

a

$$Y = \frac{RE (\cos(\varphi) \sin(\Delta\lambda))}{c + R (\sin(\varphi_K) \sin(\varphi) + \cos(\varphi_K) \cos(\varphi) \cos(\Delta\lambda))}, \quad (118)$$

kde $\Delta\lambda = (\lambda - \lambda_K)$.

Rovnice platí pro všechny azimutální projekce. Jedina neznámá konstanta c rozhoduje výběr projekce ze sady případů, z nichž užívané jsou:

- gnomická projekce, při $c = 0$;
- **stereografická projekce**, při $c = R$;
- externí projekce, při $c > R$;

- ortografická projekce, při $c = \infty$.

Poznamenaíme, že rovnice stereografické projece, která zobrazuje referenční těleso elipsoid do roviny jsou obsahem knihy [Sny87].

4.7 STEREO \rightarrow GEOD

Inverzní vzorce pro odhad zeměpisných souřadnic z pravouhlých rovinných souřadnic jsou [TDBS77] anebo [Weib] (pozor na přehozené značení souřadnicových os):

$$\varphi = \sin^{-1} \left(\cos(c) \sin(\varphi_K) \frac{Y \sin(c) \cos(\varphi_K)}{\rho} \right), \quad (119)$$

a

$$\lambda = \lambda_0 + \tan^{-1} \left(\frac{X \sin(c)}{\rho \cos(\varphi_K) \cos(c) - Y \sin(\varphi_K) \sin(c)} \right), \quad (120)$$

kde

$$\rho = \sqrt{X^2 + Y^2} \quad (121)$$

a

$$c = 2 \tan^{-1} \left(\frac{\rho}{2R} \right). \quad (122)$$

Reference

- [Bor89] K. M. Borkowski. Accurate algorithms to transform geocentric to geodetic coordinates. *Bulletin Geodesique*, 63(1):50–56, March 1989.
- [Bow76] B. Bowring. Transformation from spatial to geographical coordinates. *Survey Review*, 23:323–327, 1976.
- [Buc02] Buchar, P. *Matematická kartografie*. Vydavatelství ČVUT, Praha, 2002.
- [Caj14] Cajthaml, J. *Kartografie 1. Soubor přednášek*. ČVUT v Praze, katedra geomatiky, 2014.
- [Cim97] Cimbalník M., Mervart L. *Vyšší geodézie 1*. Ediční středisko ČVUT, Praha, 1997.
- [ECE] ECEF:Wiki. Ecef coordinates in relation to latitude and longitude — Wikipedia, the free encyclopedia.
- [ENU] ENU:Wiki. The east north up (enu) local tangent plane is similar to ned, except for swapping 'down' for 'up' and x for y. — Wikipedia, the free encyclopedia.
- [FI03] H. Fok and H. Iz. A comparative analysis of the performance of iterative and non-iterative solutions to the cartesian to geodetic coordinate transformation. volume 5, pages 61–74, 2003.
- [Fuk06] Toshio Fukushima. Transformation from Cartesian to Geodetic Coordinates Accelerated by Halley's Method. *Journal of Geodesy*, 79(12):689–693, March 2006.
- [GAB01] Mohinder S. Grewal, Angus P. Andrews, and Chris G. Bartone. *Global Navigation Satellite Systems, Inertial Navigation, and Integration*. Wiley-Interscience, 2001.
- [Kov16] P. Kovář. *Družicová navigace. Od teorie k aplikacím v softwarovém přijímači*. České vysoké učení technické v Praze. Česká technika - nakladatelství ČVUT, 2016.
- [Kub13] L. Kubaček. *Statistical Theory of Geodetic Network*. VÚGTK, Zdiby, 2013.
- [MA76] E.M. Mikhail and F.E. Ackermann. *Observations and Least Squares*. IEP-A Dun-Donnelley Publisher, New York, 1976.
- [Mat] Matlab. Comparison of 3-d coordinate systems.
- [Mer] Meridiánová konvergence. Definice meridiánovej konvergence. terminologický slovník zeměměřičtví a katastru nemovitostí.
- [Mey02] Thomas Meyer. Grid, ground, and globe: Distances in the gps era. *Surveying and Land Information Systems*, 62:179–202, 01 2002.
- [SH88] Tomas Soler and Larry Hothem. Coordinate systems used in geodesy: Basic definitions and concepts. *Journal of Surveying Engineering-asce - J SURV ENG-ASCE*, 114:84–97, 05 1988.
- [Sny87] Snyder, J., P. Map projections: A working manual, 1987.
- [Sol98] T. Soler. A compendium of transformation formulas useful in gps work. *Journal of Geodesy*, 72:482–490, 1998.
- [TDBS77] M. P. Thomas D. B., Mephan and R. R. Steeves. The stereographic double projection, 1977.
- [Ver11] Hugues Vermeille. An analytical method to transform geocentric into geodetic coordinates. *Journal of Geodesy*, 85(2):105–117, February 2011.
- [Weia] Weisstein, E., W. Spherical coordinates. from mathworld—a wolfram web resource.
- [Weib] Weisstein, Eric W. Stereographic projection. from mathworld. a wolfram web resource.

Appendices

A Základní parametry zemského elipsoidu

a	hlavní poloosa meridiánové elipsy
b	vedlejší poloosa meridiánové elipsy
f	zploštění (první)
n	zploštění (druhé)
e	excentricita (první)
e'	excentricita (druhá)
c	pólový poloměr křivosti
M	meridiánový poloměr křivosti
N	příčný poloměr křivosti
R	střední poloměr křivosti
r	poloměr rovnoběžky
φ	zeměpisná šířka
B_0^φ	délka oblouku meridiánu od rovníku po φ
W	první geodetická funkce
V	druhá geodetická funkce
F	pomocná geodetická funkce

$$f = (a - b)/a. \quad (123)$$

$$n = (a - b)/(a + b). \quad (124)$$

$$e^2 = (a^2 - b^2)/a^2. \quad (125)$$

$$e'^2 = (a^2 - b^2)/b^2. \quad (126)$$

$$c = a^2/b. \quad (127)$$

$$M = a(1 - e^2)/W^3. \quad (128)$$

$$N = a/W. \quad (129)$$

$$R = \sqrt{MN} \quad (130)$$

$$r = N \cos(\varphi). \quad (131)$$

$$W = \sqrt{1 - e^2 \sin^2(\varphi)} \quad (132)$$

$$V = \sqrt{1 + e'^2 \cos^2(\varphi)} \quad (133)$$

$$F = \sqrt{1 + n \cos(2\varphi) + n^2} \quad (134)$$

B Konstanty základních referenčních elipsoidů

B.1 World Geodetic System 1984 (WGS84)

$$a = 6378137m \quad b = 6356752,31425m \quad f = 0,003352810664747$$

B.2 Geodetic Reference System 1980 (GRS80)

$$a = 6378137m \quad b = 6356752,31414m \quad f = 0,003352810681182$$

B.3 Konstanty Krasovského elipsoidu

$$a = 6378245m \quad b = 6356863,01877m \quad f = 0,003352329869259$$

C Pseudokódy implementovaných transformací v Matlab package +Geo

C.1 ECEF2ENU

Data: $x, y, z, \varphi, \lambda, hel, RT, ELL$

Result: e, n, u

výpočet rotační matice $\mathbf{R}(\varphi, \lambda)$;

if $RT == ellipsoid$ **then**

$[x_0, y_0, z_0] = geod2ecef(\varphi, \lambda, hel, ELL)$;

else

$[x_0, y_0, z_0] = sphere2ecef(\varphi, \lambda, hel^*)$;

end

Výpočet podle rovnice [24](#)

Algorithm 1: Transformácia ECEF2ENU

C.2 ENU2ECEF

Data: $e, n, u, \varphi, \lambda, hel, RT, ELL$

Result: x, y, z

výpočet rotační matice $\mathbf{R}(\varphi, \lambda)$;

if $RT == ellipsoid$ **then**

$[x_0, y_0, z_0] = geod2ecef(\varphi, \lambda, hel, ELL)$;

else

$[x_0, y_0, z_0] = sphere2ecef(\varphi, \lambda, hel^*)$;

end

Výpočet podle rovnice [28](#)

Algorithm 2: Transformácia ENU2ECEF

C.3 GEOD2ECEF

Data: $\varphi, \lambda, h, \text{ELL}$

Result: x, y, z

výpočet potrebných parametrov rotačného elipsoidu (a, b, N)

Výpočet podľa rovnice 51

Algorithm 3: Transformácia GEOD2ECEF

C.4 ECEF2GEOD

Data: x, y, z, ELL

Result: φ, λ, h

výpočet potrebných parametrov rotačného elipsoidu (napríklad a, e)

Výpočet podľa algoritmu diskutovaný napr. [Ver11].

Algorithm 4: Transformácia ECEF2GEOD

D Smerové kosíny

E Elipsa chýb a Helmertová krivka

K určení presnosti dvojrozmernej náhodnej veličiny je vhodné správne rozumieť chybám v rovine. Presnosť je po štatistickej stránke daná dvoma odchýlkami s normálnym rozdelením. Presnosť je teda v konkrétnom súradnom systéme, napr. v systéme pravouhlých kartézianskych súradníc x, y , definovaná tzv. kovariančnou maticou v tvare:

$$\mathbf{Q} = \begin{pmatrix} \sigma_x & \sigma_x \sigma_y \\ \sigma_x \sigma_y & \sigma_y \end{pmatrix}, \quad (135)$$

kde

- σ_x je druhá odmocnina rozptylu veličiny x a reprezentuje charakteristiku presnosti tejto veličiny,
- σ_y je druhá odmocnina rozptylu veličiny y a rovnako reprezentuje charakteristiku presnosti tejto veličiny,
- $\sigma_x \sigma_y$ je kovariancia medzi parametrami x a y (v literatúre $\sigma_{x,y}$ alebo $Cov_{x,y}$).

Plochu elipsy, ktorú odvodíme z informácií z danej kovariančnej matice 135, opisujú tri základné veličiny: a) smerodajná odchýlka v smere hlavnej poloosi σ_a , b) smerodajná odchýlka v smere vedľajšej poloosi σ_b a c) uhol natočenia celej plochy ϑ . Tieto kolmé smerodajné odchýlky spoločne s uhlom natočenia je možné odvodiť viacerými spôsobmi. Sledujúc prácu [?], vychádzajme z predpokladu, že hustota pravdepodobnosti je definovaná predpisom:

$$\varphi(x, y) = \frac{1}{2\pi\sigma_x\sigma_y\sqrt{(1-\rho^2)}} \exp \left\{ \frac{-1}{2(1-\rho^2)} \left[\frac{x^2}{\sigma_x^2} + \frac{y^2}{\sigma_y^2} - 2\rho \frac{xy}{\sigma_x\sigma_y} \right] \right\}, \quad (136)$$

kde

- ρ je koeficient korelácie.

V prípade, ak veličiny x a y sú nezávislé, koeficient korelácie je nulový. Naopak, ak veličiny sú korelované dostaneme rovnicu elipsy v tvare:

$$\frac{1}{1-\rho^2} \left(\frac{x^2}{\sigma_x^2} + \frac{y^2}{\sigma_y^2} - 2\rho \frac{xy}{\sigma_x\sigma_y} \right) = t^2, \quad (137)$$

kde t je normovaná veľkosť dvojrozmernej chyby.

Ďalej bez ďalšieho odvodenia, dôjdeme k výsledku, podľa ktorého veľkosť hlavnej osi elipsy (smerodajnej odchýlky σ_a) je:

$$\sigma_a = \left\{ \frac{1}{2} \left[\sigma_x^2 + \sigma_y^2 + \sqrt{(\sigma_x^2 - \sigma_y^2)^2 + 4\rho\sigma_x^2\sigma_y^2} \right] \right\}^{\frac{1}{2}}, \quad (138)$$

a veľkosť vedľajšej osi elipsy

$$\sigma_b = \left\{ \frac{1}{2} \left[\sigma_x^2 + \sigma_y^2 - \sqrt{(\sigma_x^2 - \sigma_y^2)^2 + 4\rho\sigma_x^2\sigma_y^2} \right] \right\}^{\frac{1}{2}}. \quad (139)$$

Natočenie elipsy môžeme opísať vzorcom

$$\tan(2\vartheta) = 2\rho \frac{\sigma_x\sigma_y}{\sigma_x^2 - \sigma_y^2}. \quad (140)$$

K rovnakému výsledku sa dá dôjsť spektrálnym rozkladom kovariančnej matice \mathbf{Q} (náčrt rozkladu a odvodenia je v prílohe).

Význam veličín σ_a , σ_b a ϑ sa často zobrazuje ako elipsa chýb a je to krivka, ktorá spojuje body s rovnakou hustotou pravdepodobnosti. To znamená, že hlavná poloosa, ktorá je odvodená od rovnice 138 je od pôvodnej súradnej sústavy odklonená o uhol opísaný rovnicou 140 a že rovnica 137 obecné definuje okolie skutočnej polohy veličiny, v ktorom by sa teoreticky malo vyskytovať isté percento možných hodnôt.

Z uvedeného rozloženia chýb v rovine je možné, opäť s istou pravdepodobnosťou, odvodiť aj neistotu určenia polohy bodu v ľubovoľnom smere. Krivka, ktorá spojuje presnosť pre všetky smery sa nazýva *Helmertová krivka*.

Pre odhad presnosti použijeme zákon hromadenia stredných chýb. Všeobecný zápis zákona je tento [?]:

$$m_f^2 = \mathbf{f}^T \mathbf{Q} \mathbf{f}, \quad (141)$$

kde

- \mathbf{f} je vektor smerových kosínov,
- \mathbf{Q} je hore definovaná kovariančná matica a
- m_f^2 je prievodič bodu Helmertovej krivky, t.j. veľkosť rozptylu v smere danej priamky $\sqrt{x^2 + y^2}$.

Bez odvodenia, rovnica Helmertovej krivky je

Jej vyjadrenie je

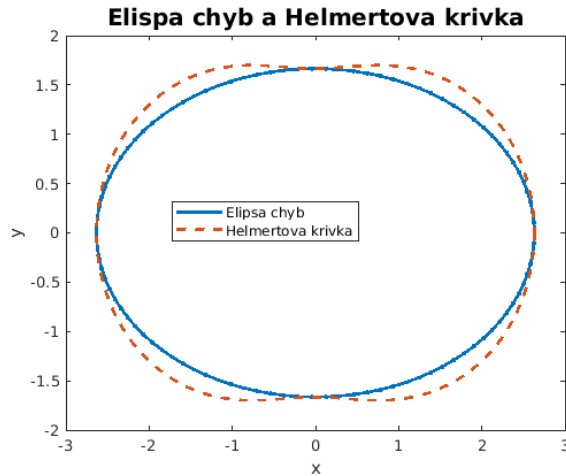
$$(x^2 + y^2)^2 = x^2\sigma_x^2 + y^2\sigma_y^2 + 2\rho\sigma_x\sigma_y xy. \quad (142)$$

E.1 Príklad zobrazenia elipsy chýb a Helmertovej krivky

Prvý príklad poukazuje na stav v ktorom kovariančná matica vyjadruje nezávislé veličiny.

Jej vyjadrenie je:

$$\mathbf{Q} = \begin{pmatrix} 2 & 0 \\ 0 & 5 \end{pmatrix}. \quad (143)$$

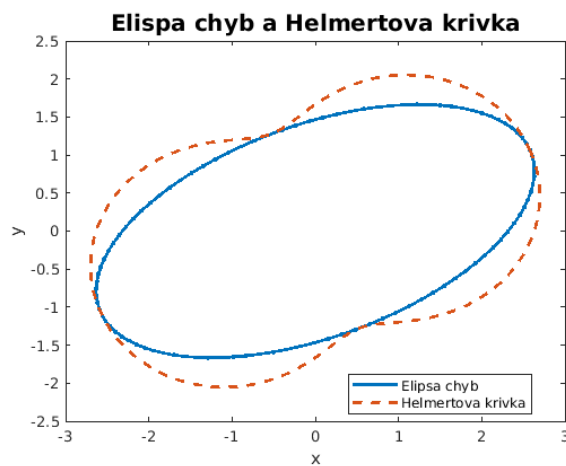


Obrázek 9: Zobrazenie elipsy chýb a Helmertovej krivky. Kovariancia je 0.0.

Druhý príklad poukazuje na stav v ktorom kovariančná matica vyjadruje závislé veličiny.

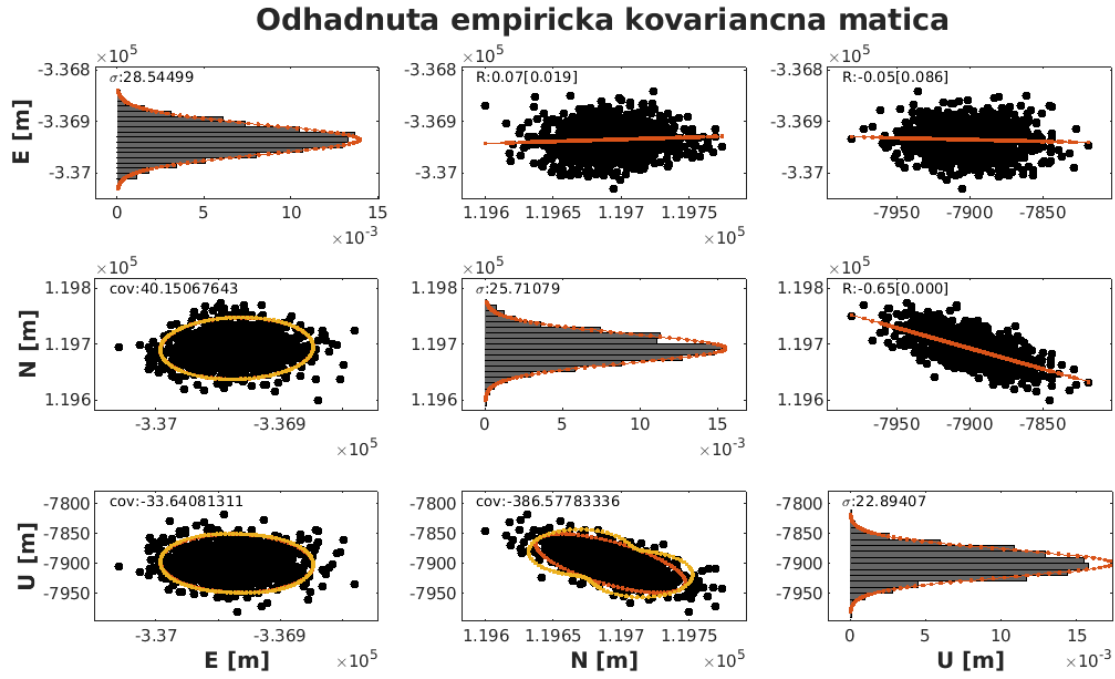
Jej vyjadrenie je:

$$\mathbf{Q} = \begin{pmatrix} 2 & 1.5 \\ 1.5 & 5 \end{pmatrix}. \quad (144)$$



Obrázek 10: Zobrazenie elipsy chýb a Helmertovej krivky. Kovariancia je 1.5.

Posledný príklad obsahuje stav transformácie kovariančnej matice zo systému ECEF do systému ENU pravouhlých súradníc. Scatter ploty pod diagonálou obsahujú aj porovnanie elíps chýb a Helmertových kriviek. Z príkladu je pozorovateľné, že ak sa druhé odmocniny rozptylov veličín približne



Obrázek 11: Transformácia suradníc zo súradného systému ECEF do systému ENU.

rovnejú a veličiny nie sú korelované (v príklade takými veličinami sú súradnice N (north) a U (up) v korelácii so súradnicou E (east)) tak polygóny elipsy chýb a Helmertových kriviek sa veľmi zhodujú. Naopak, ak sú data korelované (z príkladu pozorujeme závislosť veličín N a U), vidíme neistoty určenia polôh bodov v danom smere značne odlišné (bola uvažovaná 90% hladina významnosti).

F Vlastné čísla a vlastné vektory

F.1 Spektrálny rozklad štvorcovej matice

Bez dokazovania.

Nech \mathbf{Q} je štvorcová matica s rozmerom $n \times n$. Potom spektrálnym rozkladom takejto matice je rozklad matice na vlastné čísla a vlastné vektory a platí:

$$\mathbf{Q} = \sum_{i=1}^n \lambda_i \mathbf{f}_i \mathbf{f}_i^T, \quad (145)$$

kde

- $\mathbf{f}_i \mathbf{f}_i^T$ sú vlastné vektory a
- λ_i sú vlastné čísla.

Ak pre skalár λ a pre vektor \mathbf{f} , ktorý je nenulový platí

$$\mathbf{A}\mathbf{f} = \lambda\mathbf{f} \quad (146)$$

potom λ je vlastné číslo matice \mathbf{Q} a vektor \mathbf{f} je vlastný vektor matice \mathbf{Q} a príslušný vlastnému číslu λ .

Platí, že vlastný vektor matice je príslušný jednej vlastnej hodnote tejto matice. Vlastné čísla matice s rozmerom napr. 2×2 získame riešením rovnice:

$$Det(\mathbf{Q} - \lambda \mathbf{I}) = \lambda^2 - Tr(\mathbf{Q})\lambda + Det(\mathbf{Q}) = 0 \quad (147)$$

a potom

$$\begin{vmatrix} q_{11} - \lambda & q_{12} \\ q_{21} & q_{22} - \lambda \end{vmatrix} = 0. \quad (148)$$

Je to nutná a postačujúca podmienka pre existenciu vlastného vektoru matice \mathbf{Q} príslušného λ .

F.2 Návrh odvozenia prvkov elipsy chýb za pomoci spektrálneho rozkladu štvorcovej matice

Majme kovariančnú maticu \mathbf{Q} v tvare,

$$\mathbf{Q} = \begin{pmatrix} \sigma_x^2 & \rho\sigma_x\sigma_y \\ \rho\sigma_x\sigma_y & \sigma_y^2 \end{pmatrix}. \quad (149)$$

Podľa 147 a 148 dostaneme

$$Det(\mathbf{Q} - \lambda \mathbf{I}) = 0 \quad (150)$$

a potom

$$(\sigma_x^2 - \lambda)(\sigma_y^2 - \lambda) - \rho^2\sigma_x^2\sigma_y^2 = 0. \quad (151)$$

Po vyriešení,

$$\sigma_a = \sqrt{\lambda_1} = \left\{ \frac{1}{2} \left[\sigma_x^2 + \sigma_y^2 + \sqrt{(\sigma_x^2 - \sigma_y^2)^2 + 4\rho^2\sigma_x^2\sigma_y^2} \right] \right\}^{\frac{1}{2}}, \quad (152)$$

$$\sigma_b = \sqrt{\lambda_2} = \left\{ \frac{1}{2} \left[\sigma_x^2 + \sigma_y^2 - \sqrt{(\sigma_x^2 - \sigma_y^2)^2 + 4\rho^2\sigma_x^2\sigma_y^2} \right] \right\}^{\frac{1}{2}}. \quad (153)$$

G Zákon hromadenia chýb - Propagation law

H Zobrazení elipsoidu na kouli za podmínky zachování úhlů (konformní zobrazení)

Poznámky pocházejí z předášek [Caj14].

- Musí být splněny podmínky konformity

$$m_r = m_p, \quad p = 0. \quad (154)$$

Při odvození stačí uvažovat první podmínku. Tá druhá je splněna tím, že zeměpisná síť se zobrazuje jako zeměpisná síť (viz přednáška 3 [Caj14]).

$$\frac{RdU}{Md\varphi} = \frac{R \cos(U)dV}{N \cos(\varphi)d\lambda}. \quad (155)$$

- Vzhledem k tomu, že intervaly zeměpisné délky musí být symetrické, pak

$$dV = \alpha d\lambda. \quad (156)$$

- Výslední zobrazovací rovnice (bez odvození) jsou:

$$\tan\left(\frac{U}{2} + 45^\circ\right) = \frac{1}{k} \left[\tan\left(\frac{\varphi}{2} + 45^\circ\right) \left(\frac{1 - e \sin(\varphi)}{1 + e \sin(\varphi)}\right)^{e/2} \right]^\alpha \quad (157)$$

$$V = \alpha\lambda. \quad (158)$$

Zkreslení

Pro zkreslení platí

$$m = \frac{\alpha R \cos(U)}{N \cos(\varphi)}, \quad (159)$$

$$P = m^2, \quad (160)$$

a

$$\Delta\omega = 0. \quad (161)$$

Volba konstant zobrazení

Pokud má být zobrazení souvislé (celý elipsoid na celou kouli), pak

$$\alpha = 1, \quad (162)$$

$$k = 1, \quad (163)$$

a

$$R = a. \quad (164)$$

Pokud má být zobrazené jenom dílčí území mezi φ_J a φ_S , pak (Gaussův způsob):

- zvolí se základní rovnoběžka φ_0 (uprostřed území), která zůstane nezkreslená, t.j.

$$m_0 = 1, \quad (165)$$

- pomocí Taylorova rozvoje se vzorec pro délkové zkreslení odvodí do tvaru

$$m = f(\varphi) = f(\varphi_0 + \Delta\varphi) = f(\varphi_0) + \Delta\varphi \frac{dm}{d\varphi} + \Delta\varphi^2 \frac{d^2m}{2!d^2\varphi} + \dots \quad (166)$$

- Aby délkové zkreslení bylo co nejmenší, zvolí se podmínky

$$m_0 = 1, \quad (167)$$

$$\frac{dm}{d\varphi} = 0, \quad (168)$$

a

$$\frac{d^2m}{d^2\varphi} = 0. \quad (169)$$

- Z předchozích podmínek (bez odvození), pro hledané konstanty dostaneme tyto vztahy

$$\alpha^2 = 1 + \frac{e^2 \cos^4(\varphi_0)}{1 - e^2}, \quad (170)$$

přičemž

$$\sin(\varphi_0) = \alpha \sin(U_0). \quad (171)$$

A dále,

$$k = \frac{\tan^\alpha\left(\frac{\varphi_0}{2} + 45^\circ\right) \left(\frac{1 - e \sin(\varphi_0)}{1 + e \sin(\varphi_0)}\right)^{\frac{\alpha e}{2}}}{\tan\left(\frac{U_0}{2} + 45^\circ\right)}, \quad (172)$$

a

$$R = \sqrt{M_0 N_0}. \quad (173)$$

I Meridiánová konvergence - poznámky

Při převodu zeměpisných (např. elipsoidických) souřadnic do zobrazovací roviny některého zobrazovacího systému by mohla platit tato schéma převodu (viz následující obrázek):

$$\varphi, \lambda \xrightarrow{I} U, V \xrightarrow{II} \check{S}, D \xrightarrow{III} \rho, \varepsilon \xrightarrow{IV} X, Y$$

Obrázek 12: Obecná schéma možného převodu elipsoidických souřadnic do systému zobrazovacích souřadnic.

1. Blok **I** představuje konformní zobrazení elipsoidických souřadnic na kouli (například Gaussovým způsobem).
2. Blok **II** jsou zeměpisné sférické souřadnice převedeny na kartografické souřadnice a to vzhledem k zvolenému kartografickému pólu.
3. Blok **III** obsahuje konformní zobrazení kartografických souřadnic z koule na zvolenou zobrazovací plochu (kužel, válec, rovina).
4. Blok **IV** obsahuje výpočet pravouhlých souřadnic z polárních souřadnic.

Meridiánová konvergence je úhel mezi zemským poledníkem a rovnoběžkou rovnoběžnou s osou Y (X - v závislosti na tom, jak je souřadnicový systém zobrazovací roviny definován).

Speciálně pro stereografickou projekci, pokud by byla stereografická projekce v normální poloze (na pólu) tak meridiánová konvergence se rovná přímo zeměpisné délce. Pokud stereografická projekce bude definována v obecné poloze, postup odhadu meridiánové konvergence by mohl být tento:

- Zeměpisné souřadnice U, V pomocí následujících vztahů převedeme na kartografické souřadnice, s, d (platí pro převod na koulové ploše)

$$\sin(s) = \sin(U_k) \sin(U) + \cos(U_k) \cos(U) \cos(\Delta V) \quad (174)$$

$$\sin(d) = \frac{\sin(\Delta V) \cos(U)}{\cos(s)}. \quad (175)$$

- Nasleduje výpočet souřadnice ε , například pomocí této zobrazovací rovnice

$$\varepsilon = nD, \quad (176)$$

kde D je zeměpisná délka na kouli a n je konstanta zobrazení.

- U vrcholu P sférického trojúhelníku se musí vypočítat vnitřní úhel ξ

$$\sin(\xi) = \frac{\cos(U_k) \sin(D)}{\sin(U)}. \quad (177)$$

- Potom meridiánová konvergence se vypočte pomocí rovnice $C = \varepsilon - \xi$. Platí také přibližný vzorec

$$C = 0.008257Y + 2.373 \frac{Y}{X} [km], \quad (178)$$

kde Y a X jsou pravouhlé souřadnice, přičemž X je obrazem základního poledníku a Y je kolmá na X .